



1981

UNIVERSIDAD NACIONAL AUTONOMA DE MEXICO

FACULTAD DE INGENIERIA

“ APLICACION DEL FENOMENO DE
DISPERSION A LA CARACTERIZACION
DE YACIMIENTOS DE ACEITE ”

T E S I S

Que para obtener el titulo de:
INGENIERO GEOFISICO
p r e s e n t a
JOSE CARMEN TREJO LUGO



Universidad Nacional
Autónoma de México

Dirección General de Bibliotecas de la UNAM

Biblioteca Central



UNAM – Dirección General de Bibliotecas
Tesis Digitales
Restricciones de uso

DERECHOS RESERVADOS ©
PROHIBIDA SU REPRODUCCIÓN TOTAL O PARCIAL

Todo el material contenido en esta tesis esta protegido por la Ley Federal del Derecho de Autor (LFDA) de los Estados Unidos Mexicanos (México).

El uso de imágenes, fragmentos de videos, y demás material que sea objeto de protección de los derechos de autor, será exclusivamente para fines educativos e informativos y deberá citar la fuente donde la obtuvo mencionando el autor o autores. Cualquier uso distinto como el lucro, reproducción, edición o modificación, será perseguido y sancionado por el respectivo titular de los Derechos de Autor.

TESIS CON FALLA DE ORIGEN

C O N T E N I D O

CAPITULO	PAGINA
I.- INTRODUCCION	1
II.- REVISION DE LITERATURA	3
2.1 Dispersión hidrodinámica	3
2.2 Ecuación de dispersión	3
2.3 Soluciones de la ecuación de dispersión	5
2.3.1 Soluciones analíticas	5
2.3.2 Soluciones Numéricas	24
2.3.3 Determinación de los coeficientes de dispersión	29
III.- PLANTEAMIENTO DEL MODELO MATEMATICO	31
3.1 Obtención del modelo	31
3.2 Ejemplo de flujo en el plano x, y	33
3.3 Flujo radial	33
IV.- SOLUCION DEL MODELO MATEMATICO PLANTEADO	36
4.1 Transformación de la ecuación	36
4.2 Condiciones de frontera	37
4.3 Solución del modelo	38
V.- VERIFICACION DEL MODELO	42
VI.- RESULTADOS	53

VII.- CONCLUSIONES Y RECOMENDACIONES	58
VIII.- BIBLIOGRAFIA	60
Agradecimientos	64
Apéndice A	65
Apéndice B	76

CAPITULO I

INTRODUCCION

Uno de los principales problemas durante la explotación de un yacimiento de petróleo es el de la extracción de la mayor cantidad de petróleo contenido en él. La recuperación de petróleo de los yacimientos es considerablemente baja, los porcentajes del petróleo original que se recuperan por producción primaria van de un 2-3% para yacimientos de petróleo muy viscoso a un 60-70 % para yacimientos con buena entrada de agua, mojabilidad favorable o yacimientos con casquetes de gas y buena segregación gravitacional. Como promedio la recuperación de hidrocarburos es alrededor de un 30% del petróleo originalmente presente en los yacimientos. Para tratar de aumentar la cantidad de petróleo que se recupera mediante mecanismos naturales de producción se ha recurrido a las llamadas técnicas de recuperación secundaria las cuales básicamente consisten en la inyección de fluidos los cuales proveen de energía adicional al yacimiento, sirviendo esta energía para desplazar a los hidrocarburos. Los fluidos más utilizados en la recuperación secundaria han sido tradicionalmente agua o gas.

La cantidad de petróleo original que se recupera mediante la combinación de recuperación primaria y secundaria es en promedio del orden del 50% lo cual indica que se queda la mitad de petróleo en el yacimiento.

Este es uno de los principales problemas que ha preocupado a los investigadores por lo cual se han dedicado a diseñar nuevas técnicas de recuperación a las cuales se les ha llamado recuperación terciaria y recientemente Procesos de Recuperación Mejorada.

Dentro de los Procesos de Recuperación Mejorada se incluyen la inyección de vapor, inyección de agentes químicos, inyección de solventes, inyección de gas etc.

La principal finalidad de los Procesos de Recuperación Mejorada es aumentar la recuperación del petróleo que se encuentra originalmente en el yacimiento. Algunas de las dificultades que presenta la aplicación de un Proceso de Recuperación Mejorada es el desconocimiento adecuado de las condiciones que prevalecen en el yacimiento al tiempo de la aplicación, así como las características del medio poroso.

Una de las técnicas que nos puede proporcionar información de - -

medio antes de aplicar un Proceso de Recuperación Mejorada es la Técnica de Trazadores, que consiste en la inyección de un agente químico o radioactivo disuelto en el agua de inyección, el cual es detectado después de un tiempo considerablemente corto en los pozos de producción.

Dado que una descripción cuantitativa del comportamiento de un trazador en un yacimiento de hidrocarburos es requerida para evaluar las características del fluido contenido en el yacimiento, y las características del yacimiento mismo, un modelo matemático es necesario para describir el movimiento del trazador dentro del yacimiento y éste es la ecuación de dispersión (difusión convección).

El principal objetivo de este trabajo es obtener y evaluar la ecuación de dispersión para un sistema de coordenadas radiales, y a partir de la solución, obtener un algoritmo que nos permita determinar porosidades y permeabilidades del yacimiento, tiempos de irrupción, espesor del yacimiento.

Un ejemplo de la aplicación del modelo planteado en este trabajo es presentado en el capítulo V.

En el capítulo II se presenta una breve revisión de la literatura existente sobre el problema de dispersión en medios porosos. En ésta se incluye, para el modelo unidimensional, un método de solución más sencillo que el reportado en la literatura.

En este capítulo también se presenta la verificación de la solución de los modelos mostrados. Los resultados son presentados mediante gráficas hechas por computadora.

REVISION DE LITERATURA

2.1 Dispersión hidrodinámica

Transporte hidrodinámico y dispersión en medios porosos son los fenómenos físicos más significantes en la determinación de la distribución y concentración del trazador dentro del yacimiento.

Consideremos un medio poroso saturado de un cierto fluido en movimiento, y dejemos una porción del fluido conteniendo una cierta masa de soluto. Este soluto puede ser referido como Trazador. El Trazador puede ser calificado como una porción del mismo líquido, el cual puede ser identificado por las siguientes características: densidad, color, conductividad eléctrica, radioactividad etc.

Experiencias efectuadas demuestran como el fluido que no contiene trazador comienza a ser invadido por el trazador el cual empieza a extenderse gradualmente y tiende a ocupar con mayor o menor rapidez el fluido sin trazador, dependiendo esto, de la dirección promedio de flujo. Este fenómeno es llamado dispersión hidrodinámica en medios porosos (dispersión, desplazamiento miscible), el cual es un proceso no estacionario e irreversible.

Dispersión hidrodinámica es el resultado macroscópico del movimiento de las partículas individuales de trazador a través de los poros, y de varios fenómenos físicos y químicos los cuales tienen lugar dentro de los poros. En general estos movimientos y fenómenos son el resultado de:

(a) Fuerzas externas que actúan en el fluido, (b) la compleja geometría microscópica del sistema poroso, (c) difusión molecular causada por los gradientes de concentración del trazador, (d) variaciones en las propiedades del fluido tales como densidad, viscosidad, las cuales afectan el patrón de flujo, (e) cambios en la concentración de trazador debido a los procesos químicos y físicos dentro de la fase líquida, y (f) interacciones entre las fases líquida y sólida.

2.2 Ecuación de dispersión

La ecuación de difusión-convección (conocida también como ecuación de dispersión) para el transporte de soluto a través de un medio poroso sa-

turado de fluido en movimiento ha sido deducida por varios investigadores (Sheidegger, 1961; Bear y Bachmat, 1970 entre otros)

La ecuación de dispersión para un sistema de coordenadas cartesianas esta dada por:

$$\begin{aligned} \frac{\partial c}{\partial t} = & \frac{\partial}{\partial x_1} \left[D_{11} \frac{\partial c}{\partial x_1} + D_{12} \frac{\partial c}{\partial x_2} + D_{13} \frac{\partial c}{\partial x_3} \right] - V_1 \frac{\partial c}{\partial x_1} + \\ & + \frac{\partial}{\partial x_2} \left[D_{21} \frac{\partial c}{\partial x_1} + D_{22} \frac{\partial c}{\partial x_2} + D_{23} \frac{\partial c}{\partial x_3} \right] - V_2 \frac{\partial c}{\partial x_2} + \quad [2.1] \\ & + \frac{\partial}{\partial x_3} \left[D_{31} \frac{\partial c}{\partial x_1} + D_{32} \frac{\partial c}{\partial x_2} + D_{33} \frac{\partial c}{\partial x_3} \right] - V_3 \frac{\partial c}{\partial x_3} \end{aligned}$$

La ecuación anterior puede ser representada en notación tensorial - quedando de la siguiente forma:

$$\frac{\partial c}{\partial t} = \frac{\partial}{\partial x_i} \left[D_{i,j} \frac{\partial c}{\partial x_j} \right] - V_i \frac{\partial c}{\partial x_i} \quad [2.2]$$

Donde:

c = concentración del soluto en el fluido, $M L^{-3}$

t = Tiempo, T

D_{ij} ($i = 1,2,3$; $j=1,2,3$) = coeficiente de dispersión hidrodinámica, el cual es un tensor de segundo rango $L^2 T^{-1}$

V_i = componente del vector velocidad del fluido LT^{-1}

x_i = coordenadas cartesianas del sistema L

Discusiones detalladas de la aplicación de la ecuación de dispersión a flujo en medios porosos, y algunas soluciones para determinados problemas - son dadas por:

Bear (1972), Fried y Combarous (1972)

2.3 Soluciones de la ecuación de dispersión

La existencia de soluciones de la ecuación de dispersión puede ser dividida en dos grupos:

Soluciones analíticas

Soluciones numéricas

2.3.1 Soluciones analíticas

Muchas de las soluciones analíticas disponibles fueron obtenidas para condiciones de frontera simplificadas y principalmente para el caso de una dimensión.

Gershon y Nir (1969), Ogata (1958), Fried y Combarous (1971) y Bear (1972) presentan diversas soluciones analíticas para la ecuación de dispersión en el caso de una dimensión y bajo diferentes condiciones de frontera.

A. Ogata (1958) presenta una solución analítica de la ecuación de dispersión en medios porosos para el caso de una dimensión. Él considera una columna semi-infinita de arena, la cual inicialmente está saturada de agua pura.

Al tiempo $t \geq 0$ se considera que el fluido contiene una concentración C_0 de sustancia transportable (ejemplo sal, material químico etc.)

El problema consiste en la caracterización de la concentración C como una función de la distancia longitudinal x y el tiempo t .

La ecuación que gobierna el fenómeno en una dimensión puede ser reducida de la ecuación [2.1] si en ésta se considera flujo solo en la dirección longitudinal. Haciendo esta consideración (flujo solo en dirección longitudinal) [2.1] queda como:

$$D \frac{\partial^2 c}{\partial x^2} - v \frac{\partial c}{\partial x} = \frac{\partial c}{\partial t} \quad [2.3]$$

Donde:

D = coeficiente de dispersión longitudinal (se considera constante); $L^2 T^{-1}$

C = concentración del soluto; $M L^{-3}$

V = velocidad media del fluido en la dirección x (velocidad superficial/porosidad del medio), $L T^{-1}$

t = tiempo; T

x = distancia longitudinal; L

Las condiciones de frontera para este problema son las siguientes:

$$\begin{aligned} C(0,t) &= C_0 & ; & \quad t \geq 0 \\ C(x,0) &= 0 & ; & \quad x \geq 0 \\ C(\infty,t) &= 0 & ; & \quad t \geq 0 \end{aligned} \quad [2.4]$$

El problema se puede resolver de la siguiente manera: Hagamos un cambio de variable en el cual

$$C(x,t) = G(x,t) \exp\left(\frac{Vx}{2D} - \frac{V^2 t}{4D}\right) \quad [2.5]$$

Introduciendo [2.5] en [2.3] se tiene:

$$\frac{\partial G(x,t)}{\partial t} = D \frac{\partial^2 G(x,t)}{\partial x^2} \quad [2.6]$$

En donde [2.6] tiene la forma de la ecuación de calor

Transformando las condiciones de frontera, considerando (2.5) estas quedan de la siguiente forma:

$$\begin{aligned} G(0,t) &= C_0 \exp\left(\frac{V^2 t}{4D}\right) & ; & \quad t \geq 0 \\ G(x,0) &= 0 & ; & \quad x \geq 0 \\ G(\infty,t) &= 0 & ; & \quad t \geq 0 \end{aligned} \quad [2.7]$$

La solución de la ecuación [2.6] con las condiciones de frontera [2.7] es dada por A. Ogata (1958, 1961), para obtener dicha solución utilizó - -

el teorema de Duhamel y la evaluación de Horenstein.

Una forma más sencilla de obtener la solución de [2.6] con las condiciones [2.7], se presenta a continuación.

Resolviendo [2.6] por transformación de Laplace se tiene:

$$\mathcal{L}\left\{\frac{\partial G(x,t)}{\partial t}\right\} = SG(x,s) - G(x,0) \quad [2.8]$$

$$\mathcal{L}\left\{\frac{\partial^2 G(x,t)}{\partial x^2}\right\} = \frac{d^2 G(x,s)}{dx^2}$$

Transformando las condiciones de frontera [2.7] se tiene:

$$G(0,s) = \frac{C_0}{s - \frac{V^2}{4D}} \quad ; \quad s > \frac{V^2}{4D} \quad [2.9]$$

$$G(x,0) = 0 \quad ; \quad x \geq 0$$

$$G(\infty,s) = 0 \quad ; \quad s \geq 0$$

Sustituyendo [2.8] en [2.6] se tiene

$$SG(x,s) - G(x,0) = D \frac{d^2 G(x,s)}{dx^2} \quad [2.10]$$

Utilizando la segunda condición de [2.9] en [2.10] esta queda como :

$$D \frac{d^2 G(x,s)}{dx^2} - SG(x,s) = 0 \quad [2.11]$$

La cual tiene como solución a

$$G(x,s) = A \exp\left(\sqrt{\frac{s}{D}} x\right) + B \exp\left(-\sqrt{\frac{s}{D}} x\right) \quad [2.12]$$

Donde A y B son dos constantes arbitrarias

Utilizando la tercera condición de [2.9] en [2.12] se llega a:

$$0 = A \exp\left(\sqrt{\frac{s}{D}} x\right) \quad [2.13]$$

Como $\exp\left(\sqrt{\frac{s}{D}} x\right)$ no puede ser cero en [2.13] para que esta relación se cumpla necesariamente A = 0 por lo que la ecuación [2.12] queda como:

$$G(x,s) = B \exp\left(-\sqrt{\frac{s}{D}} x\right) \quad [2.14]$$

Considerando la primera condición de [2.9] en [2.14] se llega a

$$B = \frac{C_0}{s - \frac{V^2}{4D}}$$

Por lo que la solución de [2.6] será

$$G(x,s) = \frac{C_0 \exp\left(-\sqrt{\frac{s}{D}} x\right)}{s - \frac{V^2}{4D}} \quad [2.15]$$

La inversión de la ecuación [2.15] se hizo utilizando tablas de transformadas de Laplace (ejemplo Carslaw y Jaeger, p.495)

La antitransformada de [2.15] es:

$$\begin{aligned} \frac{G(x,t)}{C_0} = \frac{1}{2} \exp\left(\frac{V^2 t}{4D}\right) & \left\{ \exp\left(-x \sqrt{\frac{V^2}{4D^2}}\right) \operatorname{erfc}\left[\frac{x}{2\sqrt{Dt}} - \sqrt{\frac{V^2 t}{4D}}\right] \right. \\ & \left. + \exp\left(x \sqrt{\frac{V^2}{4D^2}}\right) \operatorname{erfc}\left[\frac{x}{2\sqrt{Dt}} + \sqrt{\frac{V^2 t}{4D}}\right] \right\} \quad [2.16] \end{aligned}$$

En donde [2.16] es la solución de [2.6] en el dominio del tiempo. Para encontrar la solución de [2.3] solo hay que volver a la variable original $C(x,t)$ por lo que sustituyendo en [2.16] la ecuación [2.5], se tiene

$$\frac{C(x,t)}{C_0} = \frac{1}{2} \left[\operatorname{erfc} \left(\frac{x-vt}{2\sqrt{Dt}} \right) + \exp \left(-\frac{vx}{D} \right) \operatorname{erfc} \left(\frac{x+vt}{2\sqrt{Dt}} \right) \right] \quad [2.17]$$

Donde erfc es la función error complementaria y se define como:

$$\operatorname{erfc}(z) = 1 - \frac{2}{\sqrt{\pi}} \int_0^z e^{-p^2} dp \quad [2.18]$$

La ecuación [2.17] es la solución del fenómeno de dispersión para el caso unidimensional con inyección constante de trazador.

Las figuras 1 y 2 muestran el comportamiento de esta solución. -- En la figura 1 se puede observar como se comportaría el trazador para un caso ideal en el cual se muestreara el trazador a una distancia fija, y a diversos tiempos.

La figura 2 nos muestra el comportamiento que seguiría este mismo trazador cuando fuera muestreado a diferentes distancias, pero referidas todas estas a un mismo tiempo.

Los datos empleados en la obtención de estas gráficas se encuentran en el extremo superior de las mismas, estos datos fueron tomados de la literatura.

Un modelo más general que el anterior es el que se presenta a continuación.

D.E. Holly, N.L. Guinasso y E.H. Essington (1971) plantean y resuelven un modelo matemático para el problema unidimensional del transporte de material radioactivo en medios porosos. Su principal objetivo es evaluar la solución de la ecuación de transporte. Este problema es resuelto mediante la reducción de la ecuación de transporte a una ecuación de calor mediante algunos cambios de variable.

La solución resulta de transformar mediante los mismos cambios de variable los valores de las condiciones de frontera.

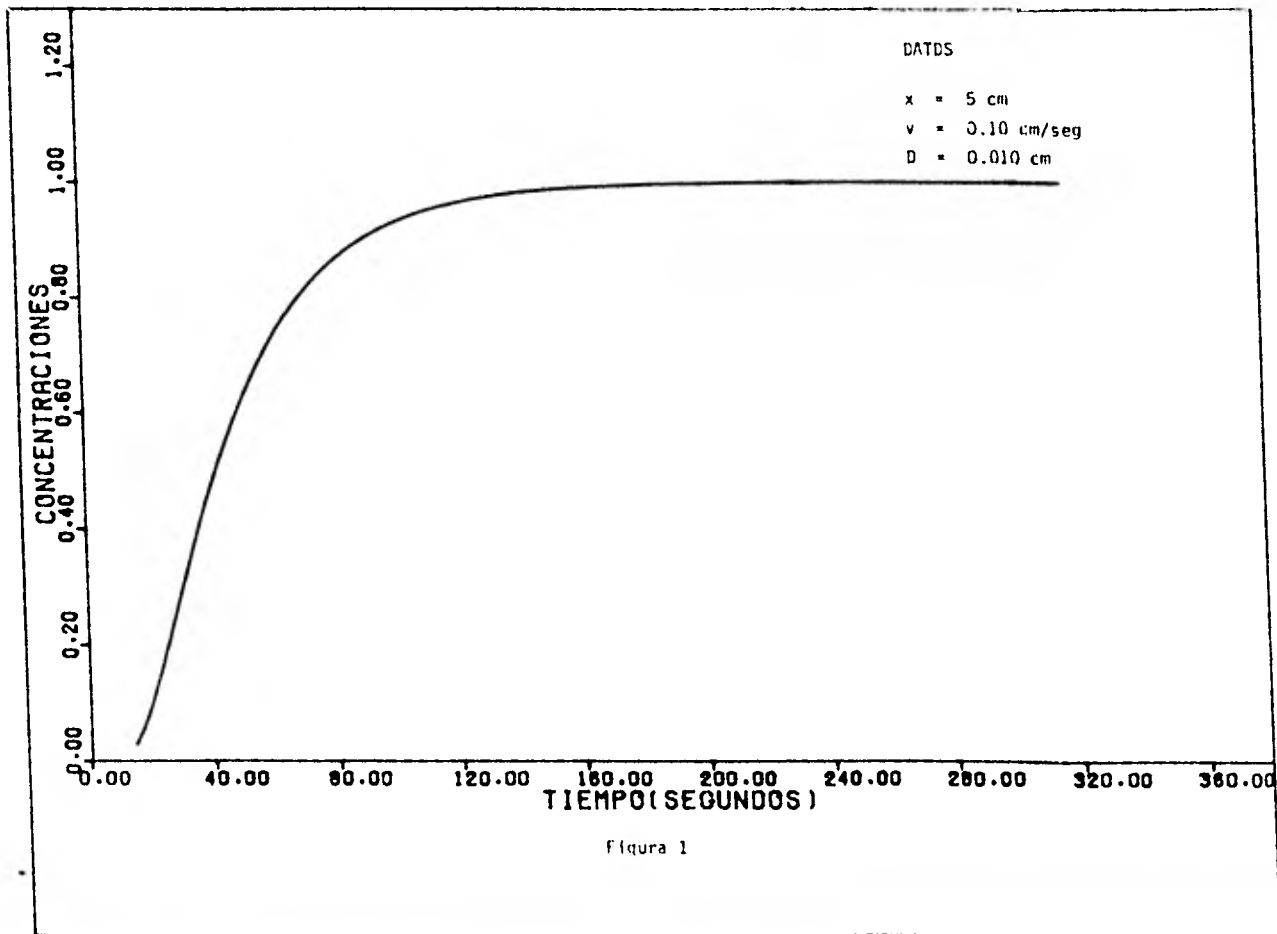


Figura 1

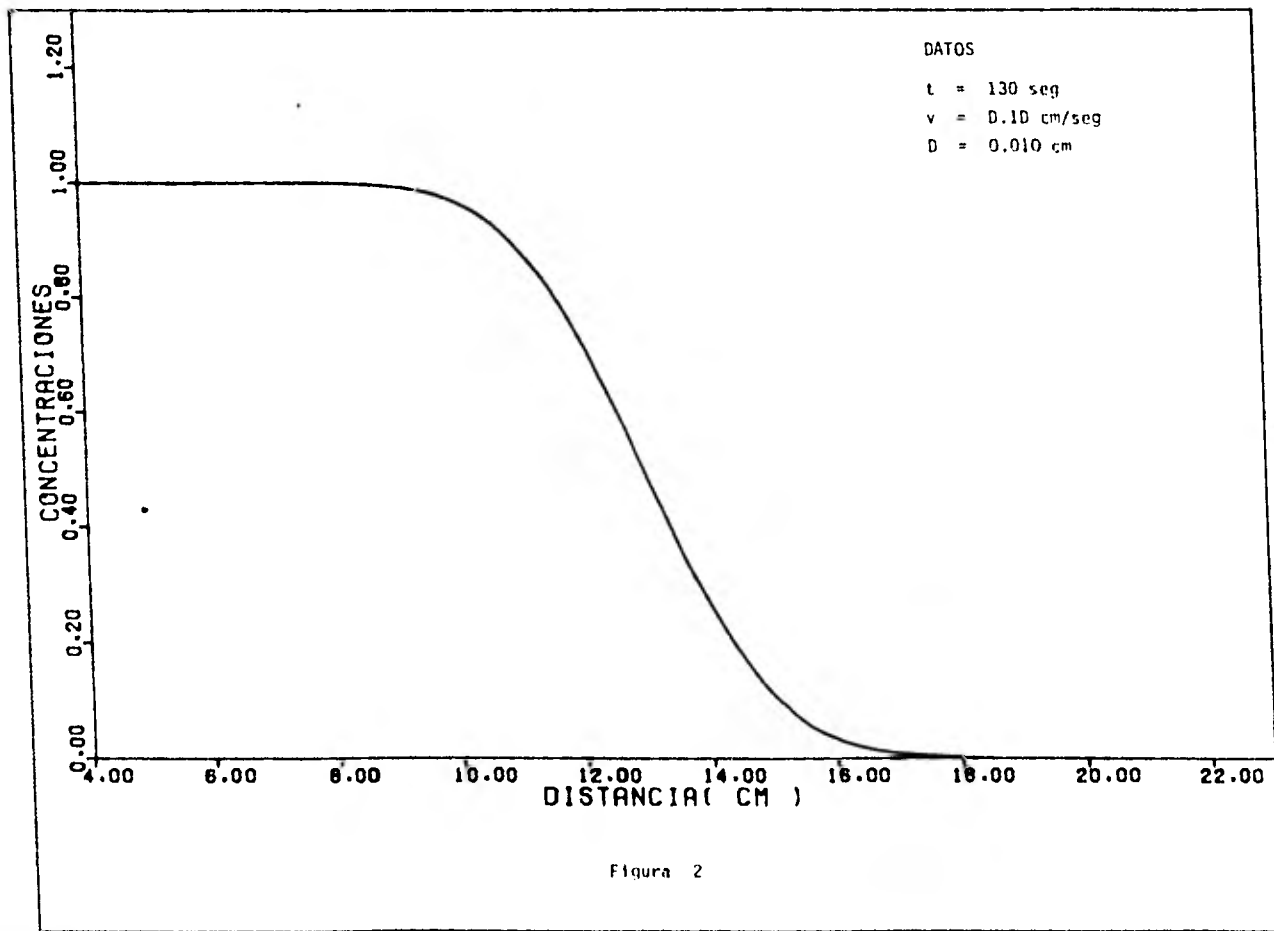


Figura 2

Ellos incorporan a la ecuación de transporte el fenómeno de adsorción.

La ecuación deducida por ellos es la siguiente

$$B \frac{\partial C(x,t)}{\partial t} = -\lambda C(x,t) + D \frac{\partial^2 C(x,t)}{\partial x^2} - V \frac{\partial c(x,t)}{\partial x} \quad [2.19]$$

Donde:

$$B = 1 + \frac{1 - \phi}{\phi} K$$

$$K = \frac{q}{C}$$

ϕ = porosidad del medio; adimensional

λ = Constante de decaimiento radioactivo ; T^{-1}

t = tiempo; T

q = Concentración radioactiva en la fase sólida; ML^{-3}

C = Concentración radioactiva en la fase líquida; ML^{-3}

D = Coeficiente de dispersión longitudinal; L^2T^{-1}

K = Constante de proporcionalidad ; adimensional

V = Velocidad media del fluido en la dirección x ; LT^{-1}

Para el planteamiento de la ecuación [2.19] se consideró que existe una relación lineal entre la concentración de material radioactivo en la fase líquida y la concentración en la fase sólida.

El método de solución de [2.19] es el siguiente

Haciendo un cambio de variable en el cual

$$C(x,t) = F(x,t) \exp(-\lambda t)$$

e introduciendo en [2.19] se tiene

$$B \frac{\partial F(x,t)}{\partial t} - D \frac{\partial^2 F(x,t)}{\partial x^2} + V \frac{\partial F(x,t)}{\partial x} = 0 \quad [2.20]$$

Si ahora cambiamos la escala del tiempo de tal forma que

$t = B\tau$ se obtiene la siguiente ecuación

$$\frac{\partial F(x, \tau)}{\partial \tau} - D \frac{\partial^2 F(x, \tau)}{\partial x^2} + V \frac{\partial F(x, \tau)}{\partial x} = 0 \quad [2.21]$$

Finalmente hagamos un nuevo cambio de variable en el cual

$$F(x, \tau) = \exp \frac{Vx}{2D} - \frac{V^2 \tau}{4D} G(x, \tau)$$

e introduciendo en [2.21] tenemos:

$$\frac{\partial G(x, \tau)}{\partial \tau} - D \frac{\partial^2 G(x, \tau)}{\partial x^2} = 0 \quad [2.22]$$

La ecuación [2.22] tiene la forma de la ecuación de calor, su solución depende de las condiciones de frontera que se le den.

D.E. Holly, N.L. Guinasso y E.H. Essington obtienen tres diferentes soluciones de [2.22] de acuerdo a tres diferentes problemas de inyección de trazador radioactivo.

En la solución de estos tres problemas las condiciones de frontera sufren los mismos cambios de variable efectuados a [2.19].

Los tres diferentes problemas de inyección junto con sus respectivas condiciones de frontera, así como las soluciones de cada problema se presentan a continuación.

Definición de las condiciones de frontera

Tres condiciones de frontera deben ser especificadas para poder resolver [2.22], en este caso para los tres diferentes problemas de dispersión dos condiciones son mantenidas para todas las soluciones.

La primera condición es aquella en la cual se asegura que la concentración, a medida que crece la distancia tiende a ser nula.

La segunda condición es la que nos especifica que la concentración, a un tiempo cero y a cualquier distancia mayor que cero es nula.

Estas dos condiciones se pueden expresar algebraicamente como:

$$\begin{aligned} C(\infty, t) &= 0 & ; & \quad t \geq 0 & & [2.23] \\ C(x, 0) &= 0 & ; & \quad x \geq 0 & & \end{aligned}$$

La tercera condición de frontera es la que expresa el valor de la concentración en el origen y a cualquier tiempo, $C(0, t)$, esta condición es una función de el tipo de inyección inicial en la fuente, y es tratada independientemente para los tres diferentes tipos de inyección que se muestran aquí.

INYECCION CONSTANTE

Consideremos que el trazador radioactivo es introducido al sistema con un gasto constante, la condición de frontera será:

$$C(0, t) = C_0 \quad ; \quad t \geq 0 \quad [2.24]$$

La solución de la ecuación [2.20] utilizando las condiciones de -- frontera [2.23] y [2.24] y utilizando Transformada de Laplace en la ecuación [2.22], es la siguiente:

$$\frac{C(x, t)}{C_0} = \frac{1}{2} \left\{ \exp \left[\frac{Vx}{2\eta} (1 - H) \right] \operatorname{erfc} \left(\frac{x - VtH/B}{2\sqrt{Dt/B}} \right) + \exp \left[\frac{Vx}{2\eta} (1 + H) \right] \operatorname{erfc} \left(\frac{x + VtH/B}{2\sqrt{Dt/B}} \right) \right\} \quad [2.25]$$

En donde

$$H = \sqrt{1 + \frac{4\lambda BD}{V^2}}$$

Es importante hacer notar que si en [2.25] hacemos $\lambda=0$, $B = 1$ se está considerando trazador químico, y este es el caso tratado anteriormente, es decir:

$$\frac{C(x, t)}{C_0} = \frac{1}{2} \operatorname{erfc} \left(\frac{x - vt}{2\sqrt{Dt}} \right) + \frac{1}{2} \exp \left(\frac{Vx}{\eta} \right) \operatorname{erfc} \left(\frac{x + Vt}{2\sqrt{Dt}} \right) \quad [2.26]$$

Que es la solución obtenida anteriormente para el caso de trazador químico.

Las figuras 3 y 4 muestran las gráficas obtenidas mediante un programa de computadora para la ecuación [2.25].

La figura 3 muestra el caso de inyección constante de trazador radioactivo (tritio), en la figura 4 se grafica el mismo caso solo que el trazador es químico, los datos utilizados en la obtención de estas gráficas fueron tomados de la literatura.

Inyección de un "batch" con mezclado

Si un trazador radioactivo es inyectado en un medio poroso de manera lenta y en un período de tiempo considerablemente grande (años por ejemplo), si además el trazador es capaz de mezclarse con el fluido contenido por el medio poroso, el trazador mezclado con el fluido se moverá a través del sistema (el cual originalmente tenía una concentración cero), y la concentración en el punto de inyección variará con el tiempo.

Esta dependencia del tiempo puede ser definida del balance de materia alrededor de la fuente, el cual da como resultado lo siguiente:

$$C(0,t) = C_0 \exp\left(-\frac{V\epsilon/L + \lambda B}{B} t\right) \quad [2.27]$$

Donde:

ϵ = eficiencia de mezclado en la fuente

L = diámetro de la fuente

La solución de la ecuación [2.20] utilizando las condiciones de frontera [2.23] y [2.27] es:

$$\frac{C(x,t)}{C_0} = \frac{1}{2} \exp(-\lambda t) \exp\left(-\frac{Vt\epsilon}{BL}\right) \left[\exp\left(-\frac{Vx}{2D}\right) (1-M) \operatorname{erfc}\left(\frac{x-VtM/B}{2\sqrt{Dt/B}}\right) + \exp\left(-\frac{Vx}{2D}\right) (1+M) \operatorname{erfc}\left(\frac{x+VtM/B}{2\sqrt{Dt/B}}\right) \right] \quad [2.28]$$

$$\text{Donde: } M = \sqrt{1 - \frac{4D\epsilon}{LV}}$$

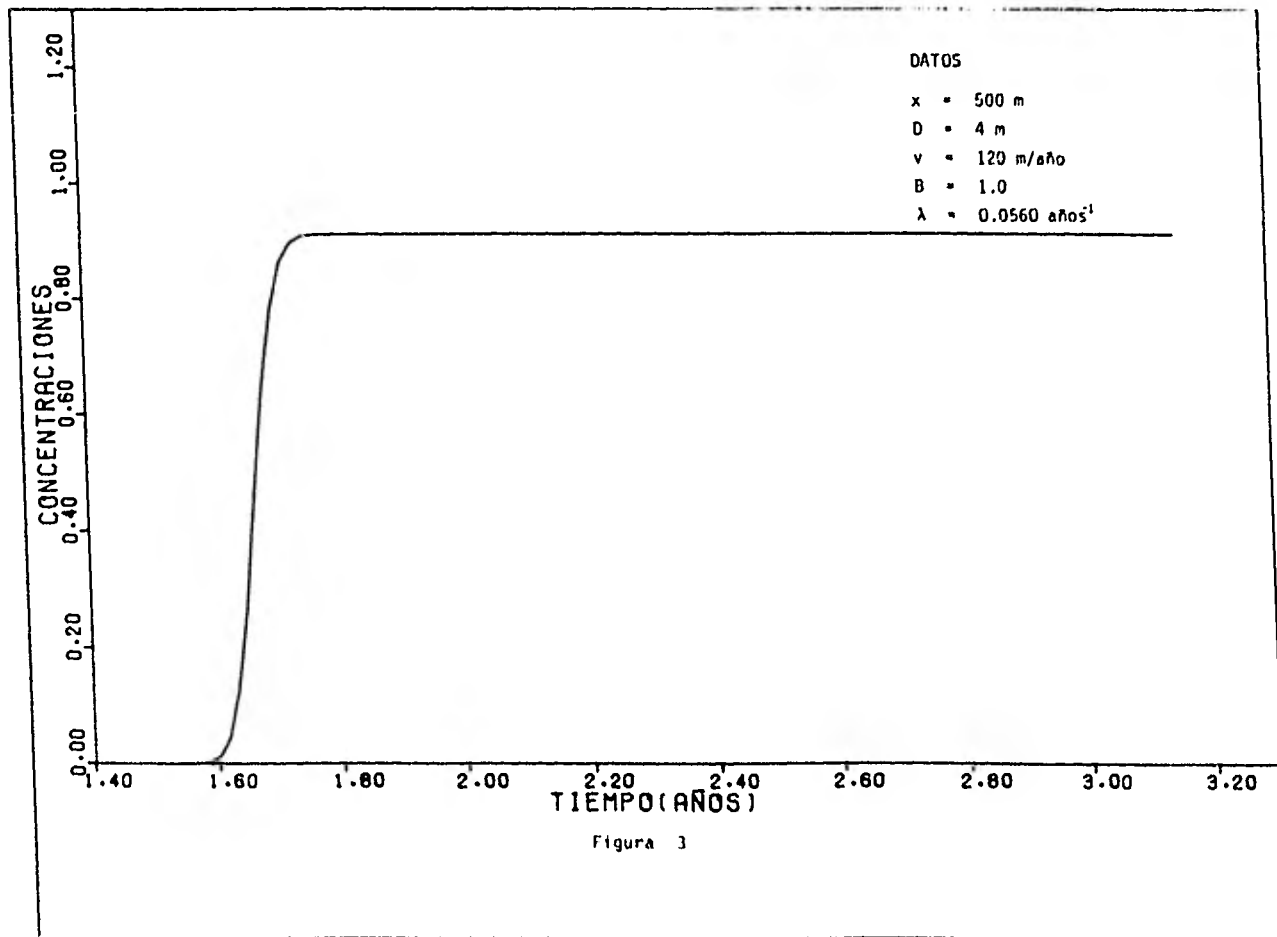


Figura 3

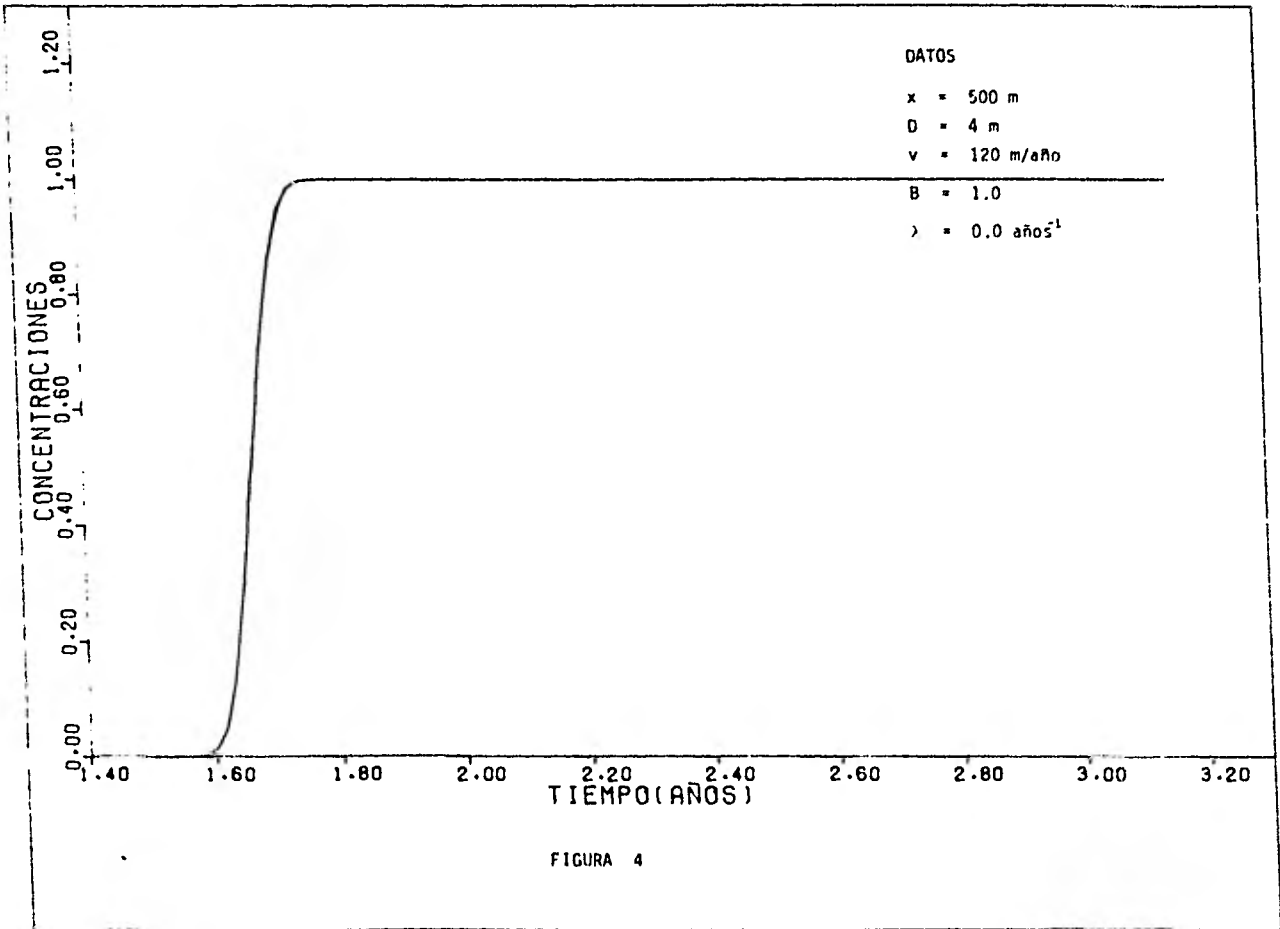


FIGURA 4

Las figuras 5 y 6 muestran las gráficas de la solución [2.28], para obtener la gráfica 5 se consideró un trazador radioactivo, para la gráfica 6 un trazador químico. Los datos fueron tomados de la literatura.

INYECCION DE "BACHE" SIN MEZCLADO

Si dentro del medio poroso no ocurre mezcla del Trazador con el flujo, y si no hay adsorción en la fase sólida, la concentración en la fuente estará dada por un pulso de entrada el cual será:

$$C(0,t) = C_0 \exp(-\lambda t) \quad 0 \leq t \leq t_0 \quad [2.29]$$

$$C(0,t) = 0 \quad t > t_0 \quad [2.30]$$

Donde: $t_0 = \frac{L}{V}$

La solución de la ecuación [2.20] utilizando las condiciones de frontera [2.23], [2.29] y [2.30] es:

$$\frac{C(x,t)}{C_0} = \frac{1}{2} \exp(-\lambda t) \left[\operatorname{erfc}\left(\frac{x-Vt}{2\sqrt{Dt}}\right) + \exp\left(\frac{Vx}{D}\right) \operatorname{erfc}\left(\frac{x+Vt}{2\sqrt{Dt}}\right) \right] \quad [2.31]$$

Para $t \leq t_0$, y

$$\begin{aligned} \frac{C(x,t)}{C_0} = & \frac{1}{2} \exp(-\lambda t) \left\{ \operatorname{erfc}\left(\frac{x-Vt}{2\sqrt{Dt}}\right) - \operatorname{erfc}\left(\frac{x-V(t-t_0)}{2\sqrt{D(t-t_0)}}\right) + \right. \\ & \left. + \exp\left(\frac{Vx}{D}\right) \left[\operatorname{erfc}\left(\frac{x+Vt}{2\sqrt{Dt}}\right) - \operatorname{erfc}\left(\frac{x+V(t-t_0)}{2\sqrt{D(t-t_0)}}\right) \right] \right\} \quad [2.32] \end{aligned}$$

Para $t > t_0$.

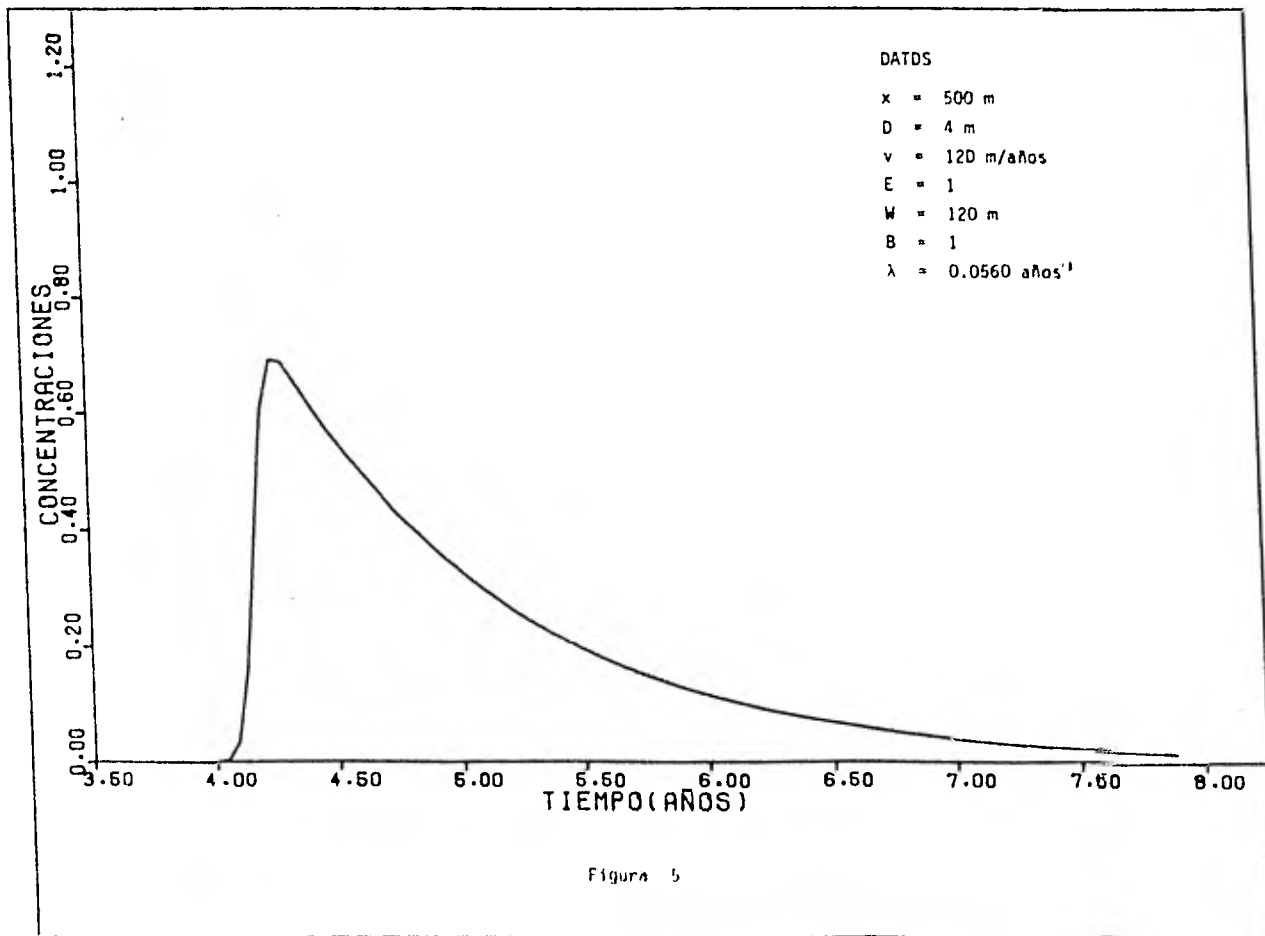


Figura 5

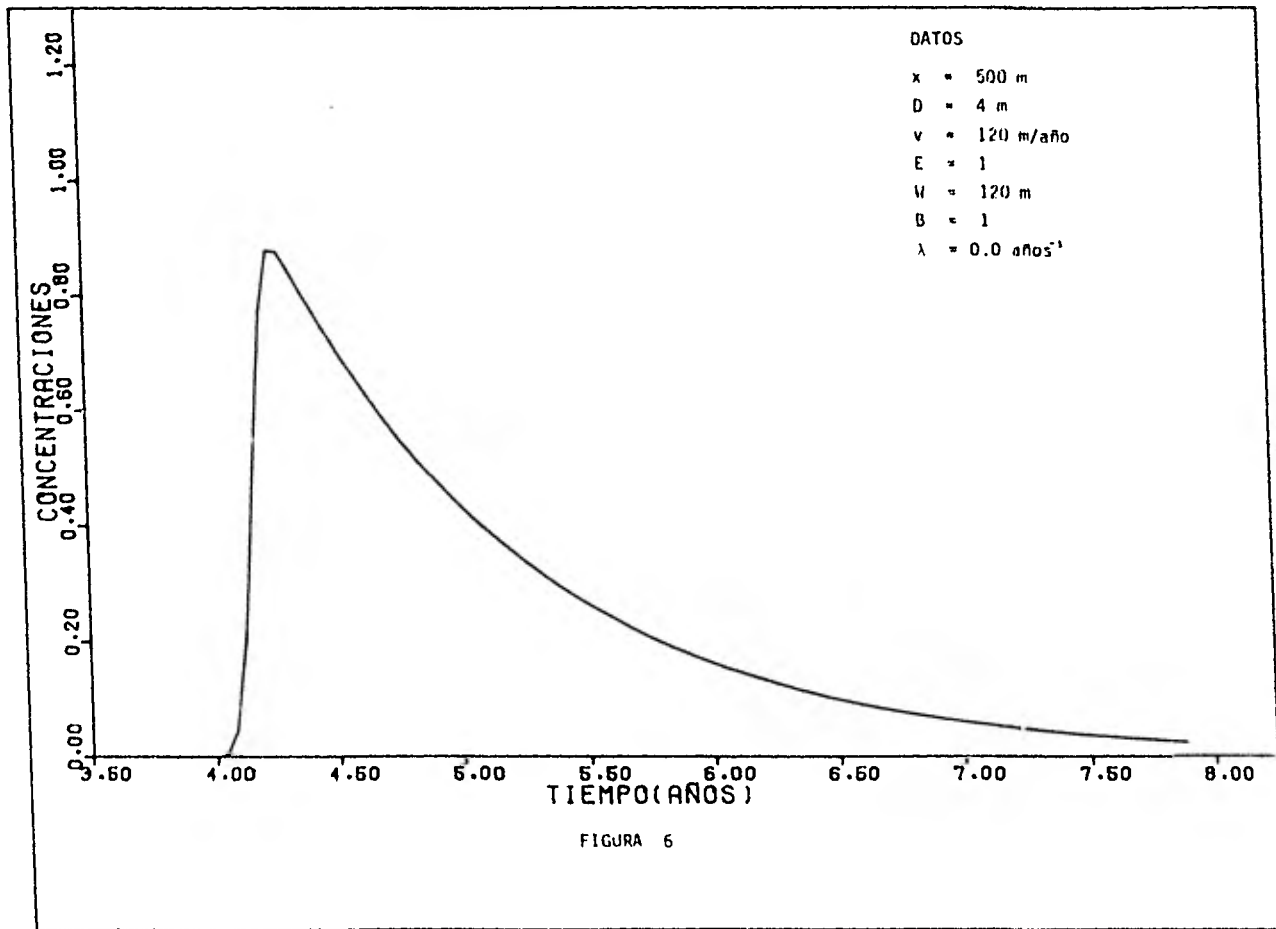


FIGURA 6

Las gráficas 7 y 8 muestran el comportamiento de las soluciones [2.31] y [2.32] . La gráfica 7 fue obtenida para el uso de trazador radioactivo, - la gráfica 8 para trazador químico. Los datos utilizados para la obtención de las gráficas fueron tomados de la literatura.

Existen otras soluciones analíticas para casos muy especiales, así como otras apoyadas en las soluciones anteriormente presentadas. Las que se consideran más importantes fueron mostradas en este capítulo.

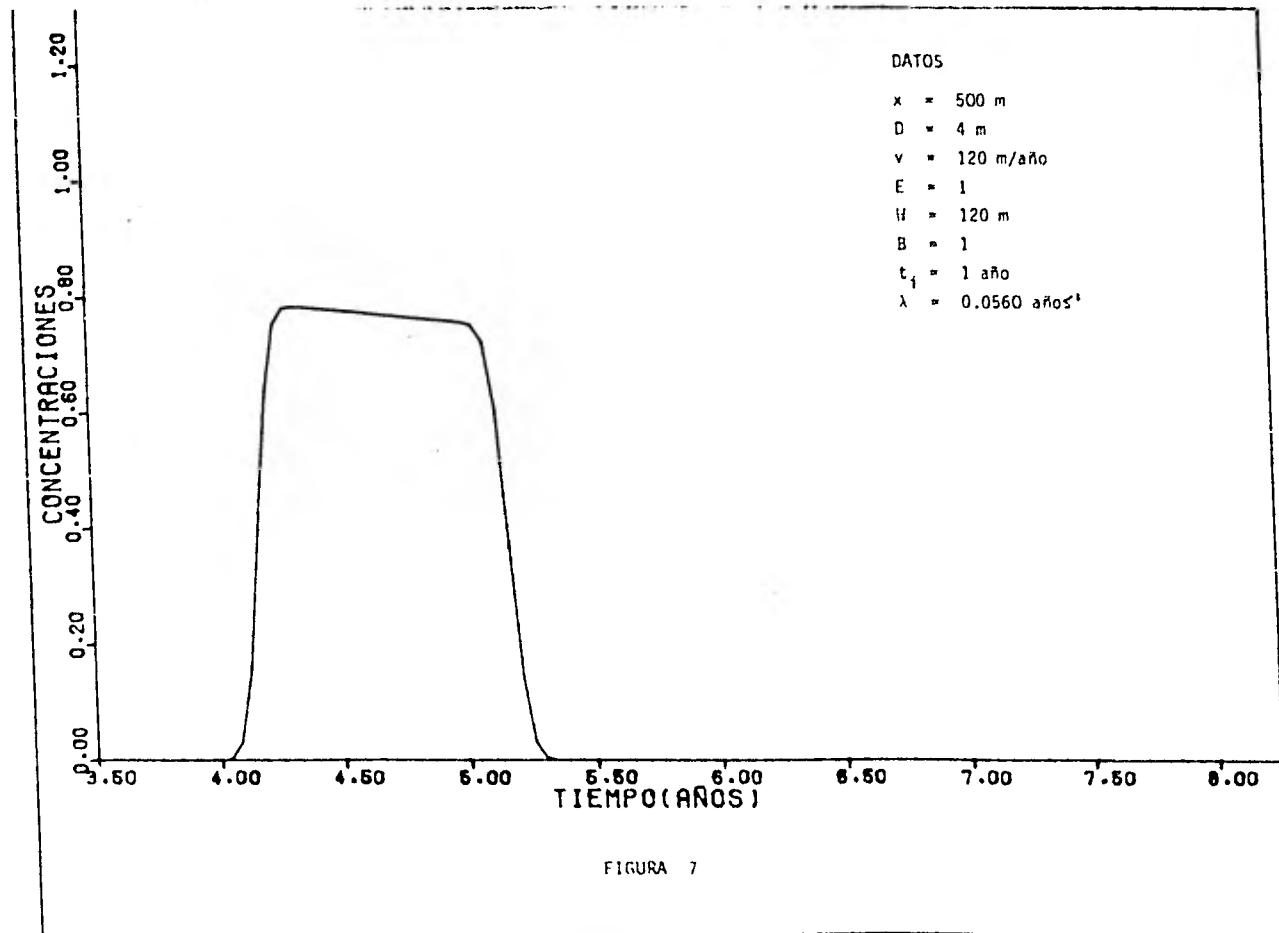
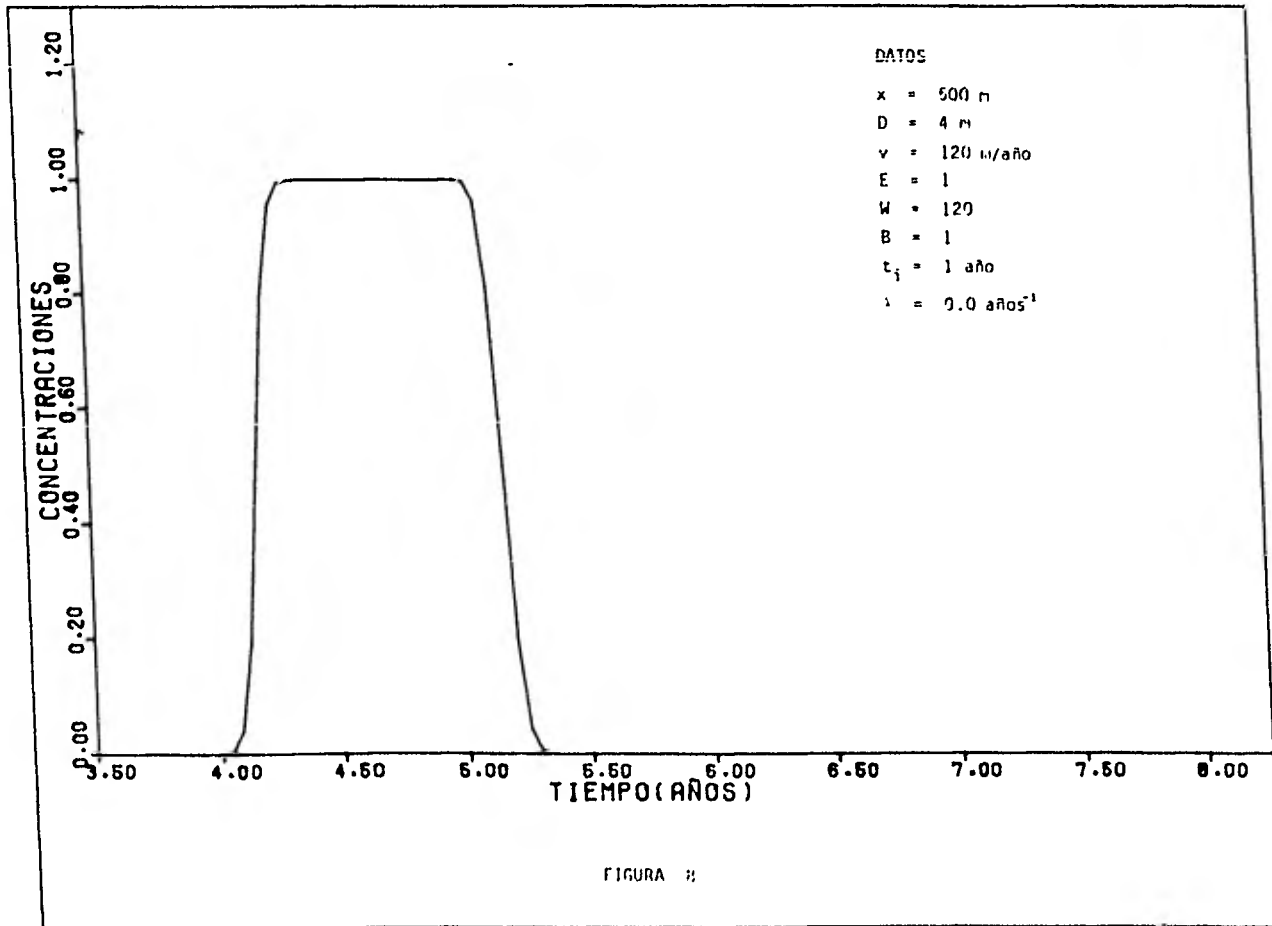


FIGURA 7



2.3.2. Soluciones Numéricas

La existencia de soluciones numéricas para la ecuación de dispersión es extensa debido a que las soluciones analíticas solo son posibles para algunos casos muy simplificados, y aún en estos la solución analítica presenta una gran complejidad.

A continuación se presentan en una forma breve los principales trabajos reportados en la literatura sobre la solución de la ecuación de dispersión mediante técnicas numéricas.

Entre las técnicas numéricas más usadas para resolver la ecuación de dispersión tenemos el método de diferencias finitas y recientemente la técnica del elemento finito, Peaceman y Rachford (1962) fueron probablemente los primeros en aplicar la técnica de diferencias finitas para resolver la ecuación de flujo y la ecuación de dispersión en forma simultánea. El propósito de su trabajo fue simular el desplazamiento de aceite por solvente.

Las ecuaciones diferenciales por ellos usadas fueron

$$\nabla \cdot \frac{k}{\mu} (\nabla p + \rho g \nabla h) = 0 \quad [2.33]$$

$$D_x \frac{\partial^2 c}{\partial x^2} + D_y \frac{\partial^2 c}{\partial y^2} + \nabla \cdot \frac{ck}{\mu} (\nabla p + \rho g \nabla h) = \theta \frac{\partial c}{\partial t} \quad [2.34]$$

Donde

- k = permeabilidad , L^2
 μ = viscosidad , $M L^{-2} T^{-1}$
 ρ = densidad , $M L^{-3}$
 D_x = Coeficiente de dispersión en la dirección de flujo, $L^2 T^{-1}$
 D_y = Coeficiente de dispersión en la dirección transversal, $L^2 T^{-1}$

Dada la distribución de concentración en el tiempo t_n , $C_{i, j, n}$, para pasar de t_n a t_{n+1} con la ecuación [2.33] en diferencias finitas se calcula $P_{i, j, n}$, usando los valores de μ, β , evaluados con $C_{i, j, n}$.

Con estos valores de $P_{i, j, n}$, $\mu_{i, j, n}$ y $\beta_{i, j, n}$ y la ecuación [2.34] en diferencias finitas se calcula la nueva distribución de concentración - $C_{i, j, n+1}$.

Los resultados obtenidos por Peaceman y Rachford son muy similares a los obtenidos con la solución analítica en una dimensión de la ecuación de dispersión (solución [2.17])

Ellos prueban sus soluciones para el caso de dos dimensiones con un modelo de laboratorio. El modelo consiste de un paquete de lucita con arena uniforme de Ottawa el cual contiene aceite, y es inundado por el solvente.

Shamir y Harleman (1966, 1967) presentan un esquema de diferencias finitas para resolver el problema de dispersión en un campo de flujo potencial estable en un medio poroso en el cual los fluidos miscibles tienen la misma densidad y viscosidad.

Ellos prueban su método numérico para flujo de dos dimensiones, la extensión a tres dimensiones también es presentada por ellos, más no es verificada. La ecuación de dispersión fue usada en líneas equipotenciales de corriente en un sistema coordenado (ϕ, ψ) quedando como:

$$\frac{\partial c}{\partial t} + V^2 \frac{\partial c}{\partial \phi} = V^2 \frac{\partial}{\partial \phi} \left[(\alpha_L V + D_m) \frac{\partial c}{\partial \phi} \right] + V^2 \frac{\partial}{\partial \psi} \left[(\alpha_T V + D_m) \frac{\partial c}{\partial \psi} \right] \quad [2.35]$$

Donde

V = Velocidad de filtración a lo largo de la línea de corriente $L T^{-1}$

D_m = Difusividad molecular $L^2 T^{-1}$

α_L = Constante de dispersión longitudinal l.

α_T = Constante de dispersión transversal l.

El esquema de diferencias finitas por ellos usado es el de Crank-Nicholson.

Ellos compararon sus soluciones con las ya existentes para los casos de una dimensión y radial, y los resultados fueron satisfactorios.

M. Shariatmadar-Taleghani (1975) desarrolla y resuelve un modelo matemático capaz de predecir el perfil de concentración de sal en un acuífero de agua dulce el cual esta cercano a la costa, y comienza a ser invadido por agua salada.

El perfil de concentración es simulado como una función del tiempo.

Las ecuaciones usadas son:

$$\frac{\rho}{r} \frac{\partial p}{\partial r} + \frac{\partial}{\partial r} \left(\rho \frac{\partial p}{\partial r} \right) + \frac{\partial}{\partial z} \left[\rho \left(\frac{\partial p}{\partial z} + \rho g \right) \right] = \frac{\mu}{k} \rho_0 \theta (1 + C_F) \frac{\partial p}{\partial t} + \frac{\mu}{k} \rho_0 \alpha \frac{\partial c}{\partial t} \quad [2.36]$$

$$\theta = \theta_0 [1 + C_F(p - p_0)] \quad [2.37]$$

$$\rho = \rho_0 + \beta \rho_0 (p - p_0) + \alpha (c - c_0) \quad [2.38]$$

$$\frac{\partial c}{\partial t} = \frac{\rho}{\rho - \alpha c} \frac{1}{r} \left(\eta_1 \frac{\partial c}{\partial r} + \eta_2 \frac{\partial c}{\partial z} \right) + \frac{\rho}{\rho - \alpha c} \frac{1}{\theta} \frac{\partial}{\partial r} \left[\theta \left(\eta_1 \frac{\partial c}{\partial r} + \eta_2 \frac{\partial c}{\partial z} \right) \right] + \frac{\rho}{\rho - \alpha c} \frac{1}{\theta} \frac{\partial}{\partial z} \left[\theta \left(\eta_2 \frac{\partial c}{\partial z} + \eta_1 \frac{\partial c}{\partial r} \right) \right] - v_r \frac{\partial c}{\partial r} - v_z \frac{\partial c}{\partial z} \quad [2.39]$$

Donde [2.36] es la ecuación de flujo en un sistema de coordenadas cilíndricas, [2.37] y [2.38] son las ecuaciones de estado, [2.39] es la ecuación de dispersión en coordenadas cilíndricas y:

- r, z = Coordenadas cilindricas, L
 P = Presión, $F L^{-2}$
 P_0 = Valor inicial de presión, $F L^{-2}$
 ρ = Densidad del fluido, $M L^{-3}$
 ρ_0 = Valor inicial de la densidad del fluido, $M L^{-3}$
 g = Aceleración de la gravedad, $L T^{-2}$
 h = Altura piezometrica, L
 μ = Viscosidad del fluido, $M L^{-1} T^{-1}$
 K = Permeabilidad, L^2
 ϕ = Porosidad (adimensional)
 ϕ_0 = Valor inicial de porosidad (adimensional)
 B = Compresibilidad del fluido, $L^2 F^{-1}$
 C_F = Factor de compresibilidad de la formación, $L^2 F^{-1}$
 t = Tiempo, T
 α = Factor de proporcionalidad
 C = Concentración de trazador $M L^{-3}$
 C_0 = Concentración inicial de trazador $M L^{-3}$
 $D_{11}, D_{12}, D_{21}, D_{22}$ = Componentes del coeficiente de dispersión hidrodinámica $L^2 T^{-1}$
 V_r, V_z = componentes de la velocidad media en las direcciones $r, y z$ respectivamente.

El método de solución empleado es el de diferencias finitas combinado con el método de las características.

El resuelve la ecuación de flujo y la ecuación de dispersión y los resultados se comparan con soluciones analíticas ya existentes obteniéndose una buena aproximación.

Este modelo es aplicado a algunos problemas de campo en Pakistan obteniéndose resultados satisfactorios, el modelo solo funciona para dos fluidos inmiscibles.

V. Murty (1975) desarrolla un modelo matemático para predecir el movimiento y la distribución de soluto introducido en acuíferos. El modelo es planteado en un sistema de coordenadas cartesianas, las ecuaciones planteadas son las siguientes.

$$\frac{\partial c}{\partial t} = \frac{\partial}{\partial x_i} \left(D_{ij} \frac{\partial c}{\partial x_j} - V_i C \right) \quad [2.40]$$

$$\frac{\partial}{\partial x_1} \left(K_{x_1} \frac{\partial h}{\partial x_1} \right) + \frac{\partial}{\partial x_2} \left(K_{x_2} \frac{\partial h}{\partial x_2} \right) + q(x_1, x_2) = \phi \frac{\partial h}{\partial t} \quad [2.41]$$

Donde la ecuación [2.40] es la ecuación de dispersión, la ecuación [2.41] la ecuación de flujo y :

- C = Concentración
- D_{ij} = Coeficiente de dispersión hidrodinámica
- V_i = Velocidad en la dirección i
- ϕ = Porosidad
- K_{x_1} = Conductividad hidráulica en la dirección x_1
- K_{x_2} = Conductividad hidráulica en la dirección x_2
- $q(x_1, x_2)$ = Término el cual indica si hay fuente o sumidero
- h = Altura piezométrica

El resuelve simultaneamente la ecuación de flujo y la ecuación de dispersión basándose en el método del elemento finito. La solución del modelo es aplicada en la determinación de patrones de flujo bajo diferentes condiciones de frontera.

Además en este trabajo formula un método para determinar los parámetros (constantes de dispersividad) del modelo de transporte, como una función de la velocidad de filtración, considerando que las concentraciones del soluto son conocidas en el acuífero. Se compararon los resultados obtenidos con algunas soluciones analíticas ya existentes y se observó una gran aproximación de su modelo, de tal forma que en la mayoría de las comparaciones los resultados son los mismos, por lo cual se concluye la validez de su método.

2.3.3 Determinación de los coeficientes de dispersión

La exactitud de los resultados obtenidos usando la ecuación de transporte y dispersión hidrodinámica depende en gran parte de los valores de los coeficientes de dispersión usados.

Sheidegger (1957) mediante observaciones en laboratorio, concluye que en flujo en medios porosos los coeficientes de dispersión generalmente son proporcionales a la velocidad del fluido. El desarrolla dos modelos teóricos y sugiere que:

$$D \propto V \quad [2.42]$$

$$D \propto V^2 \quad [2.43]$$

D = Coeficiente de dispersión

V = Velocidad del fluido

Donde la constante de proporcionalidad es llamada constante de dispersividad del medio (la cual es característica de cada medio poroso). Si denotamos con α a la constante de dispersividad las ecuaciones [2.42] y [2.43] quedan como

$$D = \alpha V \quad [2.42']$$

$$D = \alpha V^2 \quad [2.43']$$

Experimentos realizados por el mismo Sheidegger demostraron - que la ecuación [2.42'] es la que corresponde a la realidad física, esta relación también ha sido obtenida por posteriores investigadores; - por tal razón la mayoría de los autores consideran esta ecuación en la determinación del valor del coeficiente de dispersión hidrodinámica.

En investigaciones posteriores Sheidegger (1961) concluye que para un medio poroso isotrópico, de dos dimensiones (x, y) existen dos coeficientes de dispersión, el coeficiente de dispersión longitudinal y el coeficiente de dispersión transversal los cuales están dados por:

$$D_L = \alpha_1 V \quad [2.44]$$

$$D_T = \alpha_2 V \quad [2.45]$$

Donde

D_L = Coeficiente de dispersión longitudinal

D_T = Coeficiente de dispersión transversal

α_1 = Constante de dispersividad longitudinal

α_2 = Constante de dispersividad transversal

Las constantes de dispersividad generalmente se determinan -- por pruebas de laboratorio, y a partir de éstas, se determinan los coeficientes de dispersión. Un nuevo método para la determinación de estas constantes es propuesto por V. Murty (1975), este método se basa en el - conocimiento de la distribución inicial de concentración en el medio poroso.

CAPITULO III

PLANTEAMIENTO DEL MODELO MATEMATICO

En esta parte del trabajo se describe un modelo matemático para el problema de transporte y dispersión hidrodinámica de soluto en medios porosos, el modelo es descrito tanto para coordenadas cartesianas como para coordenadas radiales.

3.1 Obtención del Modelo

La ecuación de dispersión para un sistema de coordenadas cartesianas fue descrita en el capítulo II (ecuación [2.2]). Si a esta incorporamos el efecto del decaimiento radioactivo (Eldor y Dagan (1972)) tenemos lo siguiente:

$$\frac{\partial c}{\partial t} + \lambda C = \frac{\partial}{\partial x_i} (D_{ij} \frac{\partial c}{\partial x_j}) - V_i \frac{\partial c}{\partial x_i} \quad [3.1]$$

o en notación vectorial

$$\frac{\partial c}{\partial t} + \lambda C = \text{div} (D \text{ grad } C) - V \text{ grad } C \quad [3.2]$$

donde

λ = constante de decaimiento radioactivo T^{-1}

(depende del material radioactivo que se utilice)

Las demás variables fueron definidas en el capítulo II.

Si al tensor de dispersión D_{ij} lo representamos en forma matricial se tiene

$$D_{ij} = \begin{bmatrix} D_{11} & D_{12} & D_{13} \\ D_{21} & D_{22} & D_{23} \\ D_{31} & D_{32} & D_{33} \end{bmatrix} \quad [3.3]$$

donde D_{ij} está definido como el tensor de dispersión para un medio anisotrópico y heterogéneo.

En un medio homogéneo e isotrópico A. Ogata (1970) demuestra que el tensor de dispersión solo tendrá componentes en las direcciones principales por lo que la matriz de dispersión (ecuación [3.3]) quedará de la siguiente forma:

$$D_{ij} = \begin{bmatrix} D_{11} & 0 & 0 \\ 0 & D_{22} & 0 \\ 0 & 0 & D_{33} \end{bmatrix} \quad [3.4]$$

En donde D_{11} , D_{22} , D_{33} son los coeficientes de dispersión en las direcciones principales.

Sustituyendo [3.4] en [3.1] y considerando constantes los coeficientes de dispersión se tiene

$$\begin{aligned} \frac{\partial c}{\partial t} + \lambda c = D_{11} \frac{\partial^2 c}{\partial x_1^2} + D_{22} \frac{\partial^2 c}{\partial x_2^2} + D_{33} \frac{\partial^2 c}{\partial x_3^2} - \\ - V_1 \frac{\partial c}{\partial x} - V_2 \frac{\partial c}{\partial x_2} - V_3 \frac{\partial c}{\partial x_3} \end{aligned} \quad [3.5]$$

Refiriendo la ecuación [3.5] al sistema cartesiano (x,y,z) esta queda como

$$\begin{aligned} \frac{\partial c}{\partial t} + \lambda c = D_x \frac{\partial^2 c}{\partial x^2} + D_y \frac{\partial^2 c}{\partial y^2} + D_z \frac{\partial^2 c}{\partial z^2} - \\ - V_x \frac{\partial c}{\partial x} - V_y \frac{\partial c}{\partial y} - V_z \frac{\partial c}{\partial z} \end{aligned} \quad [3.6]$$

donde

D_x = Coeficiente de dispersión en la dirección x

D_y = Coeficiente de dispersión en la dirección y

D_z = Coeficiente de dispersión en la dirección z

3.2 Ejemplo de flujo en el plano x, y

Si en la ecuación [3.6] consideramos que solo existe dispersión en las direcciones x, y ($D_z = 0$) y que solo existe velocidad en la dirección x ($V_y = V_z = 0$) la ecuación [3.6] queda como

$$\frac{\partial c}{\partial t} + \lambda c = D_x \frac{\partial^2 c}{\partial x^2} + D_y \frac{\partial^2 c}{\partial y^2} - V_x \frac{\partial c}{\partial x} \quad [3.7]$$

En donde el coeficiente de dispersión D_y es una función de la velocidad en la dirección x.

La ecuación [3.7] se puede expresar de la siguiente forma

$$\frac{\partial c}{\partial t} + \lambda c = V \left[\alpha_1 \frac{\partial^2 c}{\partial x^2} + \alpha_2 \frac{\partial^2 c}{\partial y^2} - \frac{\partial c}{\partial x} \right] \quad [3.8]$$

donde

α_1 = Constante de dispersividad en la dirección x

α_2 = Constante de dispersividad en la dirección y

V = Velocidad del fluido en la dirección x

3.3. Flujo radial

La ecuación [3.8] puede ser cambiada a otro sistema coordenados por ejemplos a un sistema de coordenadas polares r, θ mediante la siguiente transformación.

$$\begin{aligned} x &= r \cos \theta \\ y &= r \sin \theta \\ r &= (x^2 + y^2)^{1/2} \end{aligned} \quad [3.9]$$

Por lo que

$$\begin{aligned} \frac{\partial c}{\partial x} &= \frac{\partial c}{\partial r} \frac{\partial r}{\partial x} + \frac{\partial c}{\partial \theta} \frac{\partial \theta}{\partial x} \\ &= \frac{\partial c}{\partial r} \frac{x}{(x^2 + y^2)^{1/2}} - \frac{\partial c}{\partial \theta} \frac{y}{(x^2 + y^2)} \end{aligned} \quad [3.10]$$

Análogamente

$$\begin{aligned} \frac{\partial c}{\partial y} &= \frac{\partial c}{\partial r} \frac{\partial r}{\partial y} + \frac{\partial c}{\partial \theta} \frac{\partial \theta}{\partial y} \\ &= \frac{\partial c}{\partial r} \frac{y}{(x^2 + y^2)^{3/2}} + \frac{\partial c}{\partial \theta} \frac{x}{(x^2 + y^2)} \end{aligned} \quad [3.11]$$

Y

$$\frac{\partial}{\partial x} = \cos \theta \frac{\partial}{\partial r} + \frac{\operatorname{sen} \theta}{r} \frac{\partial}{\partial \theta} \quad [3.12]$$

$$\frac{\partial}{\partial y} = \operatorname{sen} \theta \frac{\partial}{\partial r} + \frac{\cos \theta}{r} \frac{\partial}{\partial \theta}$$

sustituyendo [3.10], [3.11] y [3.12] en [3.8] se llega a

$$\begin{aligned} \frac{\partial c}{\partial t} + \lambda c &= V \left[\alpha_1 \left(\cos \theta \frac{\partial}{\partial r} + \frac{\operatorname{sen} \theta}{r} \frac{\partial}{\partial \theta} \right) \cdot \left(\cos \theta \frac{\partial c}{\partial r} + \frac{\operatorname{sen} \theta}{r} \frac{\partial c}{\partial \theta} \right) + \right. \\ &+ \alpha_2 \left(\operatorname{sen} \theta \frac{\partial}{\partial r} + \frac{\cos \theta}{r} \frac{\partial}{\partial \theta} \right) \cdot \left(\operatorname{sen} \theta \frac{\partial c}{\partial r} + \frac{\cos \theta}{r} \frac{\partial c}{\partial \theta} \right) - \\ &\left. - \cos \theta \frac{\partial c}{\partial r} - \frac{\operatorname{sen} \theta}{r} \frac{\partial c}{\partial \theta} \right] \end{aligned} \quad [3.13]$$

Si en la ecuación [3.13] se considera que existe simetría radial (los valores de la concentración no dependen del ángulo θ , dependen únicamente de la distancia r), por lo tanto $\frac{\partial}{\partial \theta}$ será igual a 0 o π (dependiendo si el flujo es convergente o divergente), la ecuación [3.13] para flujo divergente se transforma en

$$\frac{\partial c}{\partial t} + \lambda c = V \left[\alpha_1 \frac{\partial^2 c}{\partial r^2} - \frac{\partial c}{\partial r} \right] \quad [3.14]$$

La velocidad en la ecuación [3.14] esta dada por

$$V = \frac{Q}{A}$$

Donde

A = área que atravieza el fluido ($2 \pi r \theta h$)

h = espesor

Q = gasto

θ = porosidad

Sustituyendo el valor de la velocidad y considerando flujo divergente [3.14] queda como

$$\frac{\partial c}{\partial t} + \lambda c = \frac{Q}{2\pi r \theta h} \left[\alpha_1 \frac{\partial^2 c}{\partial r^2} - \frac{\partial c}{\partial r} \right] \quad [3.15]$$

donde α es la constante de dispersividad del medio

Haciendo $W = \frac{Q}{2\pi \theta h}$ la ecuación [3.15] queda como

$$\frac{\partial c}{\partial t} + \lambda c = \frac{W}{r} \left[\alpha_1 \frac{\partial^2 c}{\partial r^2} - \frac{\partial c}{\partial r} \right] \quad [3.16]$$

La ecuación [3.16] es el modelo matemático que simula el fenómeno de dispersión en un sistema de coordenadas radiales considerando que no hay adsorción y que el trazador es radioactivo.

CAPITULO IV

SOLUCION DEL MODELO MATEMATICO PLANTEADO

En este capítulo se presenta una solución analítica para la ecuación [3.16] deducida en el capítulo anterior.

Para resolver esta ecuación se aplicaron dos cambios de variable, mediante los cuales se logra reducir a la ecuación original en una ya conocida. De esta manera se logró resolver la ecuación [3.16] aplicando un procedimiento analítico.

4.1 Transformación de la ecuación

Debido a que mediante técnicas analíticas la ecuación [3.16] es difícil de resolver, se procedió mediante cambios de variable reducida a una ya conocida.

La ecuación [3.16] es

$$\frac{\partial c}{\partial t} + \lambda c + \frac{W}{r} \frac{\partial c}{\partial r} = \frac{W}{r} \alpha_1 \frac{\partial^2 c}{\partial r^2} \quad [4.1]$$

Si en la ecuación [4.1] se supone que la influencia de α_1 es pequeña en comparación con el efecto del movimiento del trazador lejos del punto de inyección, se puede considerar que

$$\frac{r}{W} \frac{\partial c}{\partial t} + \frac{\lambda cr}{W} + \frac{\partial c}{\partial r} = 0 \quad [4.2]$$

de donde

$$\begin{aligned} \frac{\partial c}{\partial r} &\cong - \frac{r}{W} \frac{\partial c}{\partial t} - \frac{\lambda cr}{W} \\ \frac{\partial}{\partial r} &\cong - \frac{r}{W} \frac{\partial}{\partial t} - \frac{\lambda r}{W} \end{aligned} \quad [4.3]$$

Y

$$\frac{\partial^2 c}{\partial r^2} \approx \frac{\partial}{\partial r} \left[-\frac{r}{W} \frac{\partial c}{\partial t} - \frac{\lambda cr}{W} \right]$$

$$\frac{r^2}{W^2} \frac{\partial^2 c}{\partial t^2} + \frac{2r^2 \lambda}{W^2} \frac{\partial c}{\partial t} + \frac{\lambda^2 r^2 c}{W^2} \quad [4.4]$$

Sustituyendo [4.4] en [4.1] tenemos

$$\alpha_1 \left(\frac{r^2}{W^2} \frac{\partial^2 c}{\partial t^2} + \frac{2r^2 \lambda}{W^2} \frac{\partial c}{\partial t} + \frac{\lambda^2 r^2 c}{W^2} \right) = \frac{r}{W} \frac{\partial c}{\partial t} + \frac{\lambda cr}{W} + \frac{\partial c}{\partial r} \quad [4.5]$$

Si ahora definimos una nueva variable la cual este dada por:

$$C(r,t) = F(r,t) \exp(-\lambda t) \quad [4.6]$$

Y sustituyendo [4.6] en [4.5] se obtiene

$$\frac{\alpha_1 r}{W^2} \frac{\partial^2 F}{\partial t^2} - \frac{r}{W} \frac{\partial F}{\partial t} - \frac{\partial F}{\partial r} = 0 \quad [4.7]$$

4.2 Condiciones de Frontera

Las condiciones de frontera de la ecuación [4.1] son las siguientes

$$\begin{aligned} C(0,t) &= C_0 \exp(-\lambda t) && ; \quad t \geq 0 \\ C(r,0) &= 0 && ; \quad r \geq 0 \\ C(\infty,t) &= 0 && ; \quad t \geq 0 \\ C_t(r,0) &= 0 && ; \quad r \geq 0 \end{aligned} \quad [4.8]$$

donde C_0 es una constante

Aplicando la ecuación [4.6] a las condiciones de frontera estas quedan como:

$$\begin{aligned}
 F(0,t) &= C_0 \\
 F(r,0) &= 0 \\
 F(\infty,0) &= 0 \\
 F_t(r,0) &= 0
 \end{aligned}
 \tag{4.9}$$

4.3 Solución del Modelo

La solución de la ecuación [4.7] con las condiciones de frontera [4.9] puede ser obtenida mediante transformada de Laplace de la siguiente forma:

Tomando transformadas de Laplace en [4.7] esta se convierte en

$$s F(r,s) - F(r,0) + \frac{W}{r} \frac{dF(r,s)}{dr} = \frac{\alpha_1 r}{W} [s^2 F(r,s) - sF(r,0) - F_t(r,0)] \tag{4.10}$$

Introduciendo [4.9] en [4.10] tenemos

$$\frac{W}{r} \frac{dF(r,s)}{dr} = \frac{\alpha_1 r s^2}{W} F(r,s) - sF(r,s) \tag{4.11}$$

de donde

$$\frac{dF(r,s)}{F(r,s)} = \left(\frac{\alpha_1 r^2 s^2}{W^2} - \frac{r s}{W} \right) dr \tag{4.12}$$

Integrando ambos miembros se tiene

$$F(r,s) = C_1 \exp\left(\frac{\alpha_1 r^3 s^2}{3W^2} - \frac{r^2 s}{2W}\right) \tag{4.13}$$

Usando la primera condición de [4.9] encontramos el valor de C_1 y [4.13] queda como

$$F(r,s) = C_0 \exp\left(\frac{\alpha_1 r^3 s^2}{3W^2} - \frac{r^2 s}{2W}\right) \tag{4.14}$$

Donde [4.14] es la solución de [4.7] en el dominio de Laplace, por lo que antitransformando tendremos la solución en el dominio del tiempo, la cual es

$$F(r,t) = \frac{C_0}{2} \operatorname{erfc} \left(\frac{Wt - r^2/2}{2 \alpha_1 r^3/3} \right) \quad [4.15]$$

Sustituyendo [4.6] en [4.15] volvemos a la variable original

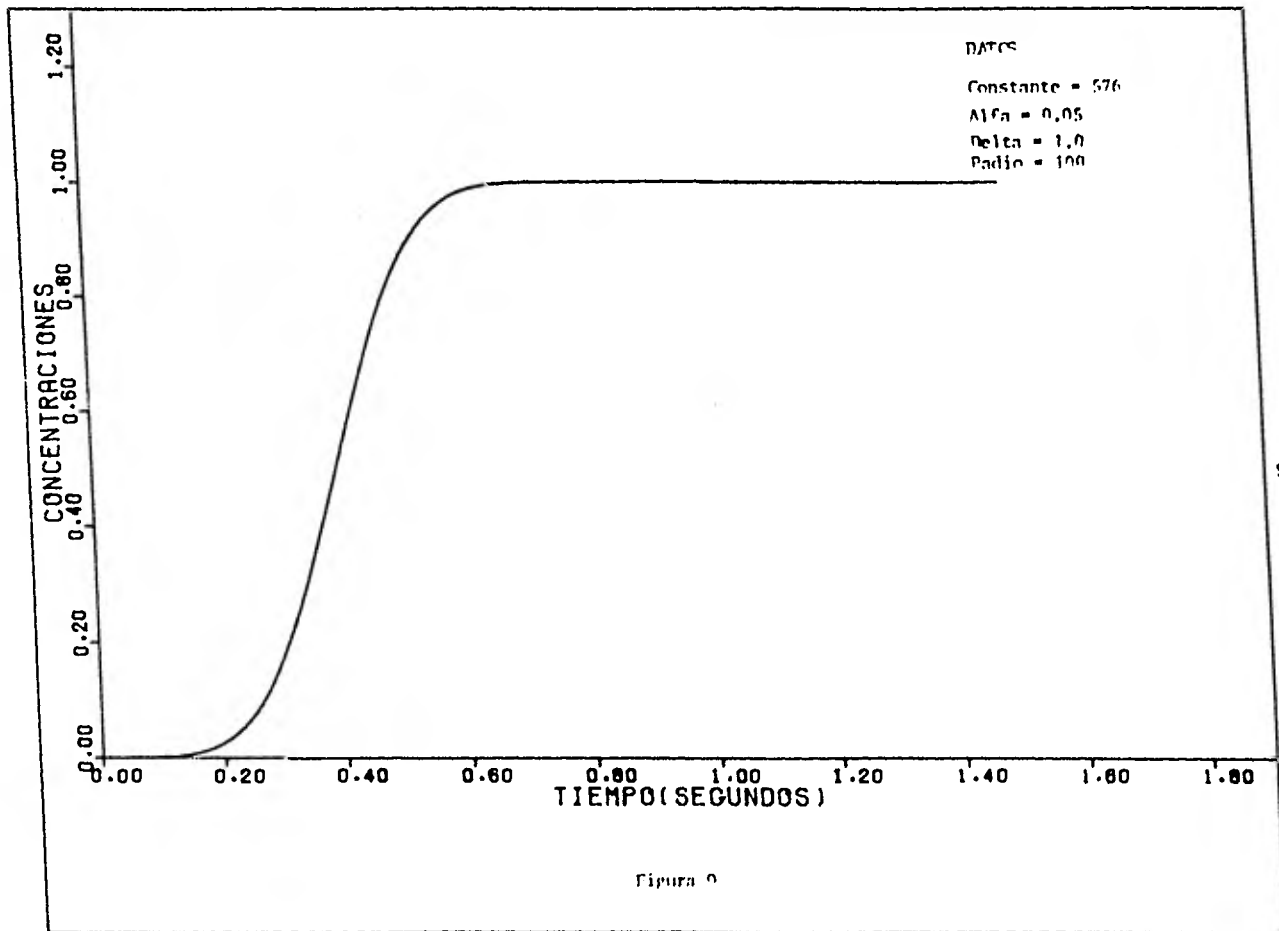
$$\frac{C(r,t)}{C_0} = \frac{1}{2} \exp(-\lambda t) \operatorname{erfc} \left(\frac{Qt/2\pi\theta h - r^2/2}{2\sqrt{\alpha_1 r^3/3}} \right) \quad [4.16]$$

La ecuación [4.16] es la solución del modelo matemático que simula la distribución de la concentración de un trazador radioactivo considerado un sistema radial e inyección constante.

Si en la ecuación [4.16] hacemos $\lambda=0$ (no hay decaimiento radioactivo) se considera inyección de trazador químico y [4.16] se transforma en

$$\frac{C(r,t)}{C_0} = \frac{1}{2} \operatorname{erfc} \left(\frac{Qt/2\pi\theta h - r^2/2}{2\sqrt{\alpha_1 r^3/3}} \right) \quad [4.17]$$

La figura 10 nos muestra el comportamiento de la ecuación [4.17] para un juego de datos tomados de la literatura.



La ecuación (4.16), como se vió anteriormente, se refiere a un trazador radiactivo, sin embargo; dicha ecuación no fue posible aplicarla a un problema de campo para comprobar su comportamiento dado que no se cuenta con información para este tipo de pruebas. Por tal razón, en -- [4.16] se eliminó el decaimiento radiactivo, obteniendo la ecuación --- [4.17] para trazador químico y que es la que Brigham y Smith, Hoopes y Harleman presentan en sus trabajos .

En el siguiente capítulo se muestra el desarrollo y aplicación -- del algoritmo dado por Dexter L. Yuen (1978), mediante el cual se puede determinar concentración, porosidad y permeabilidad, entre otros parámetros.

CAPITULO V
VERIFICACION DEL MODELO

En este capítulo se presenta un método para calcular la capacidad de almacenamiento y la conductancia de los diferentes estratos de un yacimiento para un patrón de inyección de cinco pozos. El método está basado en un trabajo desarrollado por W.F. Brigham y D.H. Smith (1965) (el original de este artículo es mostrado en el apéndice A).

Brigham y Smith derivan una ecuación integral basada en la ecuación [4.17], esta ecuación integral relaciona la concentración del trazador medida en el pozo productor con el volumen del fluido inyectado en un estrato, la ecuación por ellos derivada es

$$\frac{C}{C_{mp}} (PV) = \int_a^b \frac{dF_D}{dQ_i} \exp \left[\frac{-3L(Q_i - PV)^2}{W^2 \alpha} \right] dQ_i \quad [5.1]$$

donde

- C = concentración del trazador medida en el pozo productor
- C_{mp} = Concentración máxima de trazador en el estrato del yacimiento.
- L = Distancia del pozo productor al pozo inyector ft
- α = Constante de dispersión ft
- F_D = fracción del fluido inyectado en la corriente de producción
- Q_i = Volumen poroso desplazable (es una variable de integración en unidades de volumen poroso)
- ∅ = Porosidad
- a, b = límites de integración (dependen del patrón de inyección)
- PV = Volúmenes porosos desplazables de fluido inyectado

Para un patrón de inyección de cinco pozos Brigham y Smith empíricamente relacionan a F_D y Q_i por la ecuación

$$\log \left[\log \left(\frac{1.07}{1.07 - F_D} \right) \right] = -0.0410 + 0.581 \log(Q_i - 0.72) \quad [5.2]$$

Válida únicamente para $0.72 < Q_i < 2.29$

Obteniendo $\frac{dF_D}{dQ_i}$ en la ecuación [5.2] y sustituyendo en [5.1]

Se obtiene una expresión aplicable a un patrón de inyección de cinco pozos

$$\frac{C}{C_{mp}} PV = \int_{0.72}^{2.29} \left\{ 1.302728 [(Q_i - 0.72)^{-0.419}] [10^{-0.909913 (Q_i - 0.72)^{0.581}}] \right. \\ \left. \exp \left[- \frac{3L(Q_i - PV)^2}{\pi^2 \alpha} \right] \right\} dQ_i \quad [5.3]$$

Dexter L. Yuen (1978) desarrollo un algoritmo para computadora basado en la ecuación [5.3]. Este algoritmo determina la capacidad de almacenamiento y la conductancia de un yacimiento estratificado compuesto de estratos. En el desarrollo se considera un modelo de yacimiento como el mostrado en la figura 10.

Considerando que el gasto de inyección i en el estrato j es proporcional al $(Kk)_j$ se tiene

$$i_j = i \cdot \frac{(Kk)_j}{\sum Kk_j} \quad [5.4]$$

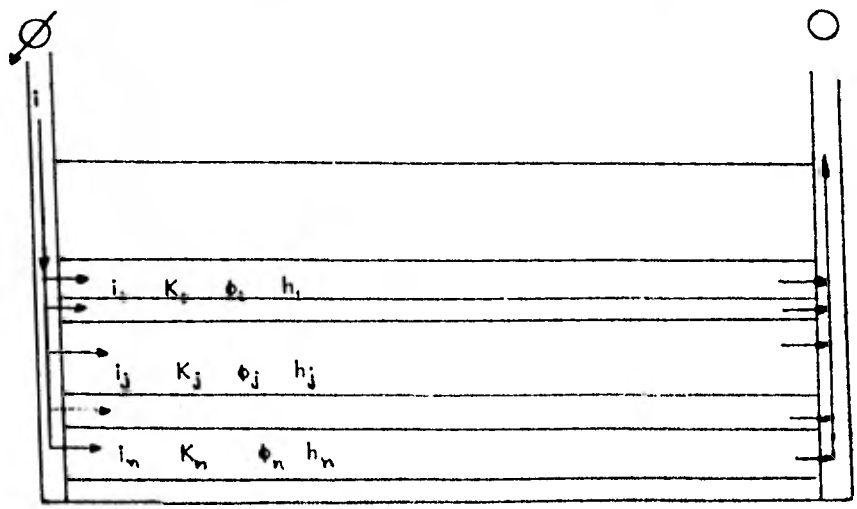
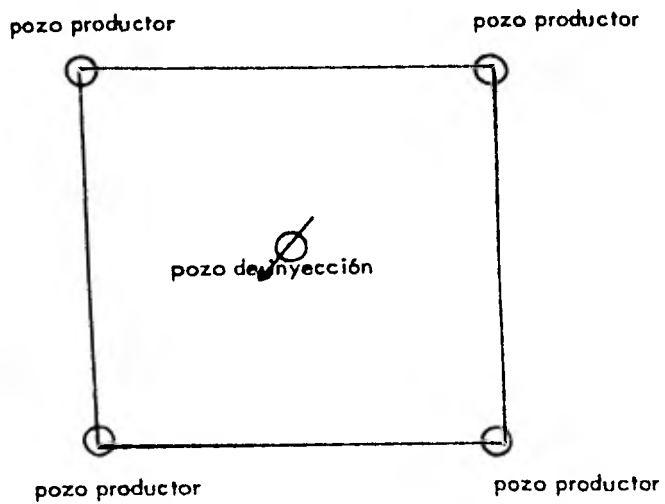


Figura 10

el fluido inyectado en el estrato j , V_j es

$$V_j = i_j \cdot \text{tiempo} = i \cdot \frac{(Kh)_j}{\sum Kh} \cdot \text{tiempo} = V \cdot \frac{(Kh)_j}{\sum Kh} \quad [5.5]$$

donde V es el total de volumen inyectado en barriles.

El volumen poroso inyectado en la capa j , PV_j se puede describir como

$$PV_j = \frac{V_j \cdot 5.615}{A(h\bar{n})_j \cdot S_w} = \frac{5.615}{A(h\bar{n})_j \cdot S_w} \cdot V \frac{(Kh)_j}{\sum Kh} = \frac{5.615 K_j}{\theta_j \sum Kh} \cdot V \quad [5.6]$$

En el desarrollo de este algoritmo se supone que la aparición de un pico de concentración en las curvas de campo corresponde a un pico de concentración de un estrato (esta suposición no es del todo válida, pero se acerca en gran parte a la realidad), por lo que si hay n picos en las curvas de campo se pueden considerar que existen n capas. La localización de un pico de concentración varía con $1/\alpha$, L. Yuen empíricamente encontró la siguiente relación

$$PV_p = 0.72 + 0.580541 \left(\frac{1}{\alpha} \right)^{-0.430043} \quad [5.7]$$

La ecuación [5.6] puede ser puesta en función del volumen poroso inyectado al cual ocurre el pico de concentración, y de PV_p quedando como

$$\frac{K_j}{\theta_j \sum Kh} = \frac{PV_p}{V_{pi}} \cdot \frac{\Delta S_w}{5.615} \quad [5.8]$$

Tomando en cuenta la ecuación (15) del trabajo de Brigham y Smith la cual nos relaciona a C_{mp} con la cantidad de trazador que entra en el estrato, se tiene

$$m = 400 h\theta Sw C_{mp} L^{1.5} \alpha^{0.5} \quad [5.9]$$

donde m = masa del trazador medida en libras

Si en la ecuación [5.9] despejamos a C_{mp} , medida en partes por millón, para el estrato j se tendrá

$$C_{mpj} = \frac{m_j}{0.0004 (h\theta)_j Sw L^{1.5} \alpha^{0.5}} \quad [5.10]$$

y el valor de la concentración de trazador en la capa j C_j se puede expresar como

$$C_j = \frac{C_j}{C_{mpj}} \cdot C_{mpj} = \frac{C_j}{C_{mpj}} \cdot \frac{m_j}{0.0004 (h\theta)_j Sw L^{1.5} \alpha^{0.5}} \quad [5.11]$$

la cantidad de trazador que invade al estrato j , m_j se puede considerar como

$$m_j = m \cdot \frac{(Kh)_j}{\sum Kh} \quad [5.12]$$

combinando [5.12] con [5.11] C_j queda como

$$C_j = \frac{C_j}{C_{mpj}} \cdot \frac{m}{0.0004 Sw L^{1.5} \alpha^{0.5}} \cdot \frac{K_j}{\theta_j \sum Kh} \quad [5.13]$$

Por lo que la cantidad total de trazador que se tendrá en el pozo productor será

$$C = \sum C_j \cdot \frac{(Kh)_j}{\sum Kh} \quad [5.14]$$

sustituyendo [5.13] en [5.14] se llega a

$$C = \sum \frac{C_j}{C_{mpj}} \cdot \frac{m}{0.0004 S_w L^{1.5} \alpha^{0.5}} \cdot \frac{K_j}{\theta_j \sum Kh} \cdot \frac{(Kh)_j}{\sum Kh} \quad [5.15]$$

en la ecuación anterior la incógnita es $\frac{(Kh)_j}{\sum Kh}$ de tal forma que si se tienen n valores de C se tendrán n ecuaciones similares a [5.15]

Si se utiliza el valor de los picos de concentración de las curvas de campo (C_{pi} donde $i = 1, 2, \dots, n$) [5.15] queda como

$$C_{pi} = \sum \left(\frac{C_j}{C_{mpj}} \right)_i \cdot \frac{m}{0.0004 S_w L^{1.5} \alpha^{0.5}} \cdot \frac{K_j}{\theta_j \sum Kh} \cdot \frac{(Kh)_j}{\sum Kh} \quad [5.16]$$

De donde la ecuación [5.16] nos genera un sistema de n ecuaciones con n incógnitas, donde n es el número de picos que se tienen en las curvas de campo. El $(\theta h)_j$ característico de cada estrato puede ser calculado como

$$(\theta h)_j = \frac{(Kh)_j}{\sum Kh} \div \frac{K_j}{\theta_j \sum Kh} \quad [5.17]$$

donde $(\theta h)_j$ es la capacidad de almacenamiento del estrato j y a $\frac{(Kh)_j}{\sum Kh}$

se le denomina conductancia del estrato j

Un diagrama de bloques en el cual se indica como se calcula $(\theta h)_j$ y $(Kh)_j$ mediante un programa de computadora, es presentado en la figura 11.

El programa de computadora que realiza los cálculos anteriores es presentado en el apéndice B.

A continuación se presenta un ejemplo de aplicación del método dado en este capítulo, para este ejemplo se consideraron los datos aportados por la prueba de trazado descrita en el artículo de Brigham y Smith, En esta prueba ellos usaron como trazador tiocianato de amonio, para la aplicación del modelo presentado en este trabajo se eligió el pozo D, la gráfica de campo obtenida para este pozo es mostrada en la figura 12.

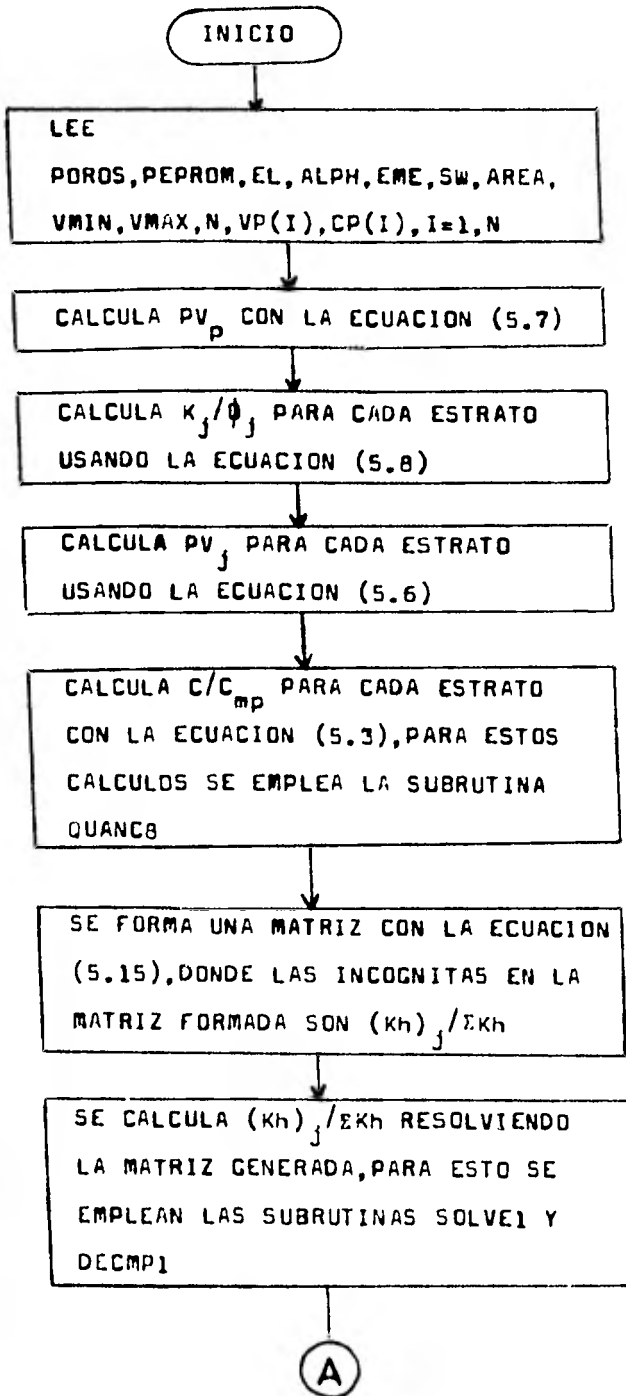
Tomando como base la curva de campo del pozo D se hicieron dos ajustes aplicando el modelo descrito en este trabajo para calcular la capacidad de flujo y la conductancia que más se aproximará a los datos de campo.

En el primer ajuste se localizaron cinco picos en la curva de campo (figura 12) con las siguientes coordenadas:

Localización de pico (barriles)	Altura de pico (ppm)
2600	29.90
3040	28.60
3220	31.60
3600	27.30
3860	21.35

En el segundo ajuste se varió la localización de los picos de la figura 12 proponiéndose cinco picos con las siguientes coordenadas:

FIGURA 11



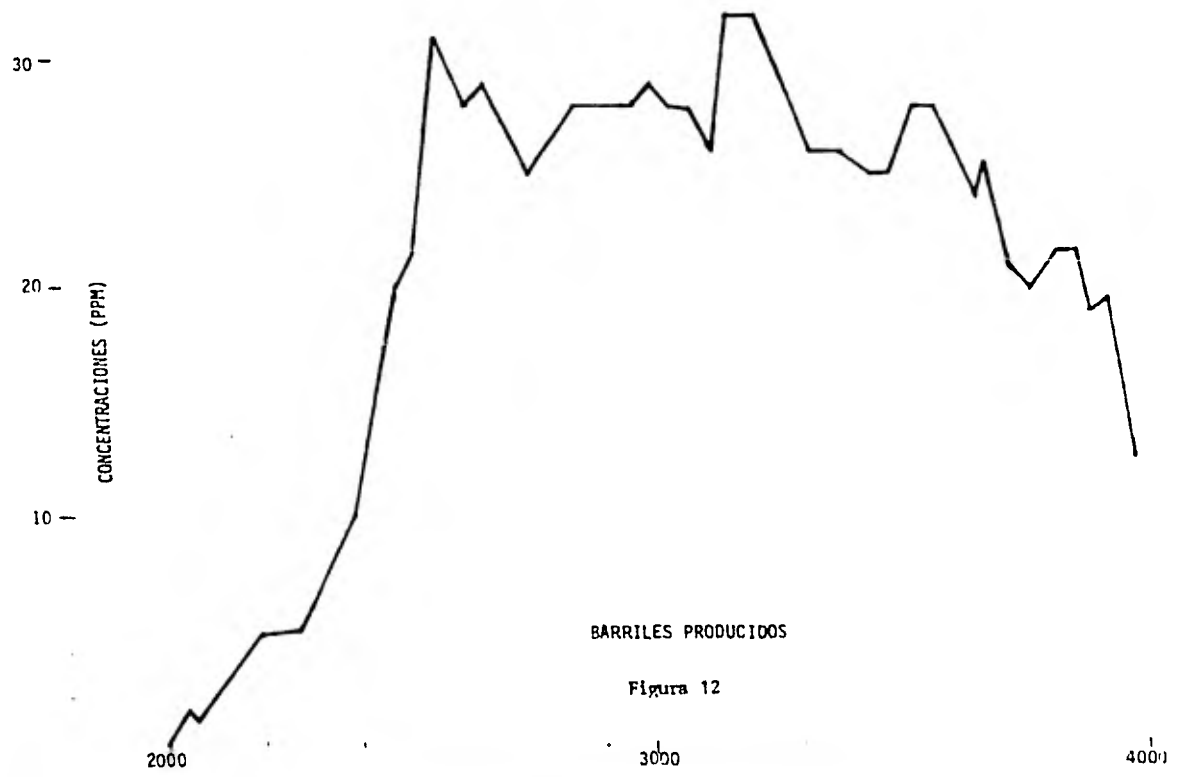
(A)

SE CALCULA $(h\phi)_j$ CON LA ECUACION
(5.17)

SE GENERA UNA CURVA CALCULADA DE
CONCENTRACION VS. VOLUMEN INYECTADO
ENTRE LOS RANGOS DE V_{MIN} Y V_{MAX}
UTILIZANDO LAS ECUACIONES (5.6),
(5.3), (5.15)

NOMENCLATURA

POROS= POROSIDAD PROMEDIO DEL YACIMIENTO
PEPROM= ESPESOR PROMEDIO DEL YACIMIENTO MULTIPLICADO
POR LA PERMEABILIDAD PROMEDIO DEL YACIMIENTO
EL= DISTANCIA ENTRE EL POZO PRODUCTOR Y EL POZO INYECTOR
ALPH= CONSTANTE DE DISPERSION
EME= CANTIDAD DE TRAZADOR INYECTADO
SW= SATURACION DE AGUA EN EL YACIMIENTO
VMIN= VALOR MINIMO DE VOLUMEN INYECTADO PARA EL CUAL
SE ANALIZA LA CURVA DE CAMPO
VMAX= VALOR MAXIMO DE VOLUMEN INYECTADO PARA EL CUAL
SE ANALIZA LA CURVA DE CAMPO
N= NUMERO DE PICOS LOCALIZADOS EN LA CURVA DE CAMPO
VP(I)= ABSISAS A LAS CUALES SE LOCALIZAN LOS PICOS
CP(I)= ORDENADAS A LAS CUALES SE LOCALIZAN LOS PICOS



BARRILES PRODUCIDOS

Figura 12

Localización de pico (barriles)	Altura de pico (ppm)
2600	31.00
2950	28.50
3250	31.50
3600	28.00
3850	21.35

Como es recomendado en el artículo de Brigham y Smith antes de que los datos sean analizados deben ser corregidos para poder considerar la influencia de flujos de afuera del patrón de inyección. Por ejemplo el pozo D produce un promedio de 240 BHPD y se estima que el pozo inyector contribuye con 205 BHPD para la producción del pozo D, por lo que los otros 35 BHPD llegan de afuera del patrón de inyección.

Considerando lo anterior, la concentración dada en los datos de -- campo debe ser multiplicada por un factor de 240/205 para hacerla compatible con lo que se debe proporcionar al modelo.

Los datos de campo dan la localización de los picos de concentración como una función del fluido producido por el pozo en lugar de darlos como una función del fluido inyectado en el patrón, que es como los necesita el modelo, por lo que los "volumenes inyectados" fueron determinados por la -- multiplicación de los "volumenes producidos" por 205/240.

Otra consideración que se hace es que, después de inyectar en el patrón, el fluido no es igualmente distribuido entre los pozos productores, por lo que el valor original de la cantidad de trazador inyectado debe de ser modificado.

Por ejemplo para el patrón de inyección que estamos considerando se inyectaron 600 BWP, y si éstos fueron igualmente distribuidos el pozo D recibiría exactamente 150 BWP, como el pozo D recibe 205 BWP del fluido inyectado en lugar de 150 BWP la cantidad de trazador inyectado sera de 200 libras multiplicadas por el factor de 205/150.

Después de hacer las correcciones anteriores los datos quedaron de la siguiente forma

Datos para el primer ajuste

Localización de pico (barriles)	Altura de pico (ppm)
2220	35.00
2597	33.50
2750	37.00
3070	32.00
3300	25.00

Datos para el segundo ajuste

Localización de pico (barriles)	Altura de pico (ppm)
2220	36.30
2519	33.37
2776	36.88
3075	32.78
3288	25.00

La cantidad de trazador inyectado ya corregido fué de 273 libras, el valor de la saturación de agua de 0.55, la constante de dispersión α de 0.05, la distancia entre el pozo inyector y el pozo productor fue 233.30ft

Los resultados de estos dos ajustes son presentados en el capítulo siguiente.

CAPITULO VI

RESULTADOS

En este capítulo se presentan los resultados obtenidos al aplicar el algoritmo descrito en el capítulo anterior al problema de campo presentado en el artículo de Brigham y Smith.

Los resultados de este análisis son dados en las tablas I y II así como en las figuras 13 y 14. La tabla I y la figura 13 corresponden al primer ajuste, la tabla II y la figura 14 corresponden al segundo ajuste.

Del análisis de las tablas I y II y de las gráficas proporcionadas por las figuras 13 y 14 podemos observar que en el primer ajuste los valores de permeabilidad obtenidos por el modelo para los estratos 2 y 3 tienen muy poca variación, al igual que los obtenidos para los estratos 4 y 5, por este motivo es que al observar la gráfica dada en la figura 13 solo localizamos tres picos, cosa que pareciera errónea ya que nosotros habíamos propuesto un ajuste de una curva de cinco picos, lo que sucede es que los picos producidos por los estratos 2 y 3 se confunden en uno solo al igual que los producidos por los estratos 4 y 5 razón por la cual solo se observan tres picos en la gráfica de la figura 13. Para el segundo ajuste como se puede observar en la tabla II los valores de permeabilidad calculados por el modelo tienen muy poca variación en los estratos 4 y 5, en los demás estratos la variación es mayor, esto puede explicar el porque en la gráfica de la figura 14 solo aparecen 4 picos en la curva calculada por el modelo.

Como también se puede observar de las figuras 13 y 14 la curva calculada que más se acerca a las curvas de campo es la proporcionada por el segundo ajuste, para el cual los rangos de permeabilidad calculados por el modelo varían entre 4133.95 y 2791.11 milidarcis los cuales coinciden en gran parte con los proporcionados por Brigham y Smith para la misma prueba los cuales varían entre 4110 y 2980 milidarcis.

TABLA I

CANTIDAD DE TRAZADO (LBS) = 273.000
 SWZ = .550
 AREA (PIES CUADRADOS) = 27225.00000

ESTRATO NO.	LOCALIZACION DE PICO (BRLS)	ALTURA DE PICO (PPV)
1	2220.00	35.00
2	2507.00	33.50
3	2750.00	37.00
4	3070.00	32.00
5	3300.00	25.00

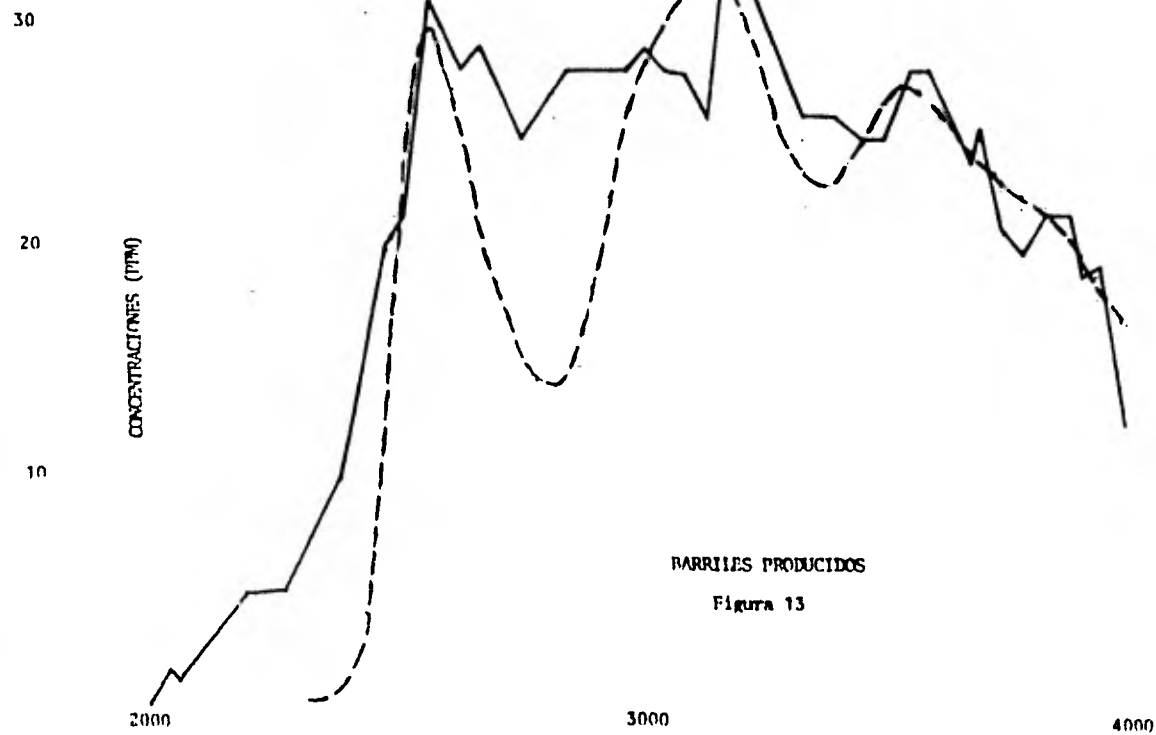
L (FT) = 233.30 ALPHA (FT) = .05 1/ALPHA (FT) = 4666.00

INFORMACION GENERADA A PARTIR DE LOS DATOS DE ENTRADA

ESTRATO NO.	KH/KH TOTAL	POROSIDAD (PIES)
1	.0972	.1100
2	.0652	.0864
3	.0638	.0895
4	.0516	.0887
5	.0240	.0404

ESTRATO NO.	ESPESOR (FT)	KH (MILIDARCIOS-FT)	PERMEABILIDAD (MILIDARCIOS)
1	.423031	1748.7900	4133.9587
2	.332209	1173.9742	3533.8422
3	.344147	1148.4980	3337.2321
4	.341007	1019.3990	2909.3773
5	.155302	432.1202	2701.0268

WFIN



BARRILES PRODUCIDOS

Figura 13

TABLA II

CANTIDAD DE TRAZADOR(LBS) = 273.00
 SWR = 159
 AREA(CUADRAJOS) = 3725.0000

ESTRATO NO.	LOCALIZACION DE PICO (INLS)	ALTURA DE PICO (PPH)
1	2221.00	36.37
2	2219.00	33.37
3	2776.00	36.80
4	3075.00	32.73
5	3033.00	25.00

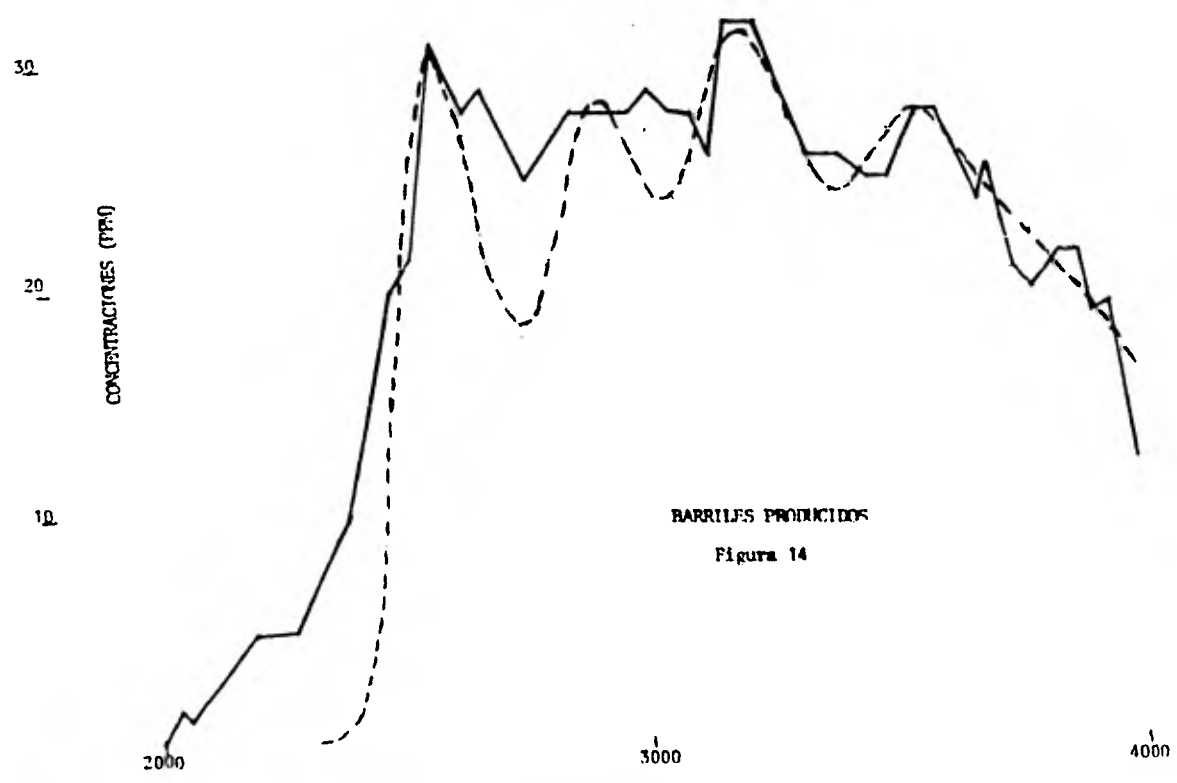
L(FT) = 233.33 ALPHA(FT) = .05 L/ALPHA (FT) = 4666.67

INFORMACION GENERADA A PARTIR DE LOS DATOS DE ENTRADA

ESTRATO NO.	KH/KH TOTAL	POROSIDAD(PIES)
1	.1723	.1141
2	.1571	.0862
3	.1708	.1031
4	.1755	.0873
5	.1194	.0325

ESTRATO NO.	SPD(OR(FT))	KH (MILIMETROS-FT)	PERMEABILIDAD(MILIDARCT)
1	.42007	1817.0267	4133.9587
2	.371573	1231.5176	3543.2665
3	.374574	1317.3315	3375.9756
4	.324572	994.3225	2984.5165
5	.174967	341.7943	2791.1765

FIN



BARRILES PRODUCIDOS
Figura 14

CAPITULO VII

CONCLUSIONES Y RECOMENDACIONES

El estudio del movimiento real de un fluido a través de un medio poroso mediante un trazador presenta complicaciones en cuanto a su formulación y solución, siendo esto último lo más problemático, por lo que se hace necesario hacer ciertas suposiciones en el comportamiento del fenómeno de tal manera que el modelo matemático que lo simula pueda resolverse y que la solución obtenida no sea tan ideal que resulte alejada de la realidad. En muchos casos las suposiciones hechas permitieron inclusive obtener soluciones analíticas de los modelos planteados. Por ejemplo en este trabajo se presentaron las soluciones analíticas de modelos matemáticos que describen el fenómeno de dispersión en una dimensión (flujo solo en la dirección longitudinal) soluciones que simulan un fenómeno de una manera simple pero que sin embargo ilustran mucho acerca de su comportamiento. Cabe mencionar que dichas soluciones presentaron algunas complicaciones en su determinación pero los resultados obtenidos fueron bastante satisfactorios. A continuación y a manera de resumen mencionaremos los aspectos más importantes de los modelos resueltos.

- . La solución unidimensional lineal fue obtenida aplicando la técnica de transformada de Laplace, dicha técnica resultó ser más simple que la utilizada por A. Ogata y otros investigadores.
- . De las gráficas de concentración contra tiempo se puede observar como es el comportamiento del fenómeno para los diferentes tipos de inyección considerados.
- . Se obtuvo la solución de la ecuación de dispersión considerando trazador radiactivo para un sistema de coordenadas radiales aplicando la técnica de Transformada de Laplace. Tal solución no ha sido reportada en la literatura existente sobre el tema.

La validación de esta solución no fue posible hacerla por no contar con la información requerida por tal razón; se eliminó el decaimiento radiactivo ($\lambda = 0$) reduciéndose la ecuación a la obtenida por Hoopes y Harleman, Brigham y Smith para trazador químico y que en forma indirecta valida la solución para trazador radiactivo.

. Se adaptó y complementó un programa de computadora que determina la capacidad de almacenamiento y la conductancia para un yacimiento estratificado de un arreglo de cinco pozos. Las suposiciones hechas en el desarrollo del algoritmo fueron:

- a) La permeabilidad y la porosidad son homogéneas en cada estrato.
- b) La relación de movilidades es igual a uno
- c) La saturación de agua es constante en cada estrato
- d) La constante de dispersión α es la misma para todo el yacimiento
- e) No hay flujo cruzado entre estratos
- f) la distribución del fluido inyectado en cada estrato es proporcional a la capacidad de flujo (Kh) del mismo
- g) la distribución del trazador en el yacimiento es proporcional a la capacidad del flujo (Kh) de cada estrato.

A pesar de las suposiciones hechas el algoritmo presentado en este trabajo puede ser aplicado a situaciones reales de campo obteniéndose resultados bastante satisfactorios.

Dado que el arreglo de 5 pozos no es utilizado en la Industria Petrolera Nacional, se propone generalizar el procedimiento empleado por Brigham y Smith para cualquier tipo de arreglo de pozos. Lo anterior -- puede lograrse si se obtienen ecuaciones similares a la ecuación 16 del artículo de Brigham para los diferentes patrones de inyección que se desee.

CAPITULO VIII

B I B L I O G R A F I A

- Bachmat, Y., and J. Bear, 1964, The general equations of hydrodynamic dispersion in homogeneous, isotropic, porous mediums, *Journal of Geophysical Research*, Vol. 69, No. 12, June 1964, pp-2561-2567.
- Bashbush-Bauza, J.L., *Apuntes del Curso Internacional Recuperación Mejorada Fase I, I.M.P., junio 1980*
- Bear, J., 1972 *Dynamics of fluids in porous media*, American Elsevier, New York.
- Brigham, W.E., and Smith, D.H., *Prediction of Tracer Behavior in Five-Spot Flow*, Paper SPE 1130, Oct. 1965.
- Carslaw, H.S., and Jaeger, J.C., 1959, *Conduction of heat in solids*, Oxford University Press
- Churchill, R.V., 1958, *Operational Mathematics*, Mc Graw-Hill Book Company, New York.
- Churchill, R.V., 1977, *Series de Fourier y Problemas de Contorno*, Segunda Edición, McGraw-Hill Book Company, México
- Dagan, G., 1971, *Perturbation solutions of the dispersion equation in porous mediums*, *Water Resources Research*, Vol. 7, No. 1, Feb. 1971, pp. 135-142
- de Josselin de Jong, G., *Longitudinal and transverse diffusion in granular deposits*, *Transactions, American Geophysical Union*, Vol. 39, No. 1, pp 67-74

- Eldor, M., and G. Dagan, 1972, Solutions of hydrodynamic dispersion in porous media, Water Resources Research, Vol. 8, No. 5 oct. 1972, pp. 1316-1331
- Fried, J.J., and M.A. Combarous, 1971, Dispersion in porous media, in Advances Hydroscience, Vol. 7, pp. 169- 282, Academic Press, New York.
- Garder, O.A., D.W. Peaceman, and A.L. Pozzi, 1964, Numerical Calculation of multidimensional miscible displacement by the method of -- characteristics, Society of Petroleum Engineers Journal, Vol. 4, No. 1 March 1964, pp. 26-36
- Gerson, N.D., and A. Nir, 1969, Effects of Boundary conditions of models on tracer distribution in Flow Through porous Mediums, Water Resources Research, Vol. 5, No. 4 Aug. 1969, pp. 830-839.
- Holly, D.E., N.L. Guinasso, and E.H. Essington, Hydrodynamic Transport of Radionuclides: One-dimensional case with two dimensional approximation, Prepared for: U.S. Atomic Energy Commission - Nevada Operations office, Las Vegas Nevada, September 1971.
- Hoopes, J.A., and D.R.F. Harleman, Waste water recharge and dispersion in porous media, Journal of the Hydraulics Division, Proceeding of the American Society of Civil Engineers, September 1967
- Hoopes, J.A., and D.R.F. Harleman, Dispersion in radial flow from a - - recharge well, Journal of Geophysical Research, Vol. 72, No. 14, July 1967, pp. 3595-3607

- Ogata, A., Dispersion in porous media, Ph. D. dissertation, Northwestern University, Evanston, Illinois August 1958
- Ogata, A., and R.B. Banks, A solution of the differential equation of longitudinal dispersion in porous media, professional paper 411-A, U.S. Geological Survey, U.S. Government Printing Office, Washington D.C., 1961
- Ogata, A., 1970, Theory of dispersion in a granular medium, U.S. Geological Survey Professional paper 411-I
- Peaceman, D.W., and H.H. Rachford, Jr., 1962, Numerical Calculation of multidimensional miscible displacement, Society of Petroleum Engineers Journal, Vol. 2, No.4, Dec. 1962, pp. 327-339
- Perkins, T.K., and O.C. Johnston, 1963, A review of diffusion and dispersion in porous media, Society of Petroleum Engineers Journal, Vol. 3, No. 1, March 1963 pp. 70-84
- Sheidegger, A.E., General Theory of dispersion in porous media, Journal of Geophysical Research, Vol. 66, No. 10, Oct. 1961, pp. 3275-3278
- Shamir, V.Y., and D.R.F. Harleman, Numerical Solutions for dispersion in porous mediums, water Resources Research, Vol. 3, No. 2, 1967, pp. 557-581
- Spiegel, M.R., 1970, Transformadas de Laplace, Serie de Compendios Shaum, Libros Mc Graw-Hill de México.

- Yuan, D.L., Analysis of five-spot tracer tests to determine reservoir layering, Master of Science, Thesis Stanford University, August 1978

- Murty, V., A finite element model for miscible displacement in ground water aquifers, Ph.D dissertation, University of California, Davis, 1975

- Shariatmadar-Taleghani, M., Transient flow of nonhomogeneous fluids to wells, Ph.D. dissertation, Colorado State University, 1975.

AGRADECIMIENTOS

Expreso mi especial agradecimiento al M. en I. Teófilo Gutiérrez Acosta por las facilidades otorgadas en el desarrollo de este trabajo, por su valiosa cooperación, sus comentarios críticos y acertadas sugerencias en la elaboración del mismo, así como por la colaboración y ayuda proporcionada durante mi formación profesional.

APENDICE A

" PREDICTION OF TRACER BEHAVIOR IN FIVE-SPOT FLOW "

THIS IS A PREPRINT --- SUBJECT TO CORRECTION

PREDICTION OF TRACER BEHAVIOR IN FIVE-SPOT FLOW

By

W. E. Brigham, Member AIME, and D. H. Emith, Jr. Member AIME,
Continental Oil Co., Ponca City, Okla.

Publication Rights Reserved

This paper is to be presented at the 40th Annual Fall Meeting of the Society of Petroleum Engineers of AIME, to be held in Denver, Colorado, October 3-5, 1965, and is considered the property of the Society of Petroleum Engineers. Permission to publish is hereby restricted to an abstract of not more than 300 words, with no illustrations, unless the paper is specifically released to the press by the Editor of the *Journal of Petroleum Technology* or the Executive Secretary. Such abstract elsewhere after publication in the *Journal of Petroleum Technology* or the *Society of Petroleum Engineers Journal* is granted on request, providing proper credit is given that publication and the original presentation of the paper.

Discussion of this paper is invited. Three copies of any discussion should be sent to the Society of Petroleum Engineers office. Such discussion may be presented at the above meeting and, with the paper, may be considered for publication in one of the two SPE magazines.

ABSTRACT

Equations are developed to predict the time of tracer breakthrough, the peak concentration of the tracer, and the general form of the breakthrough curve in a 5-spot flood. It is shown that these results depend on the amount of stratification of the reservoir, the volumes injected and produced, the natural dispersion coefficient of the tracer in the reservoir, the amount of tracer injected, plus all the reservoir volume parameters (i.e. well spacing, porosity, thickness).

Many laboratory data are available on the breakthrough characteristics of a 5-spot flood, also much data is available on the natural linear dispersion coefficients of reservoir rock. To derive the equations, these data were combined and several assumptions were made. It was also necessary to graphically differentiate the breakthrough data. Thus it should be recognized that the final equations likely have some error. However, this should not invalidate their use, for the method and logic behind the derivation are sound, and thus the form of the final equations should be close to correct. In this paper, the prediction equations are used in a reverse sense. That is, the detailed tracer production history from a field test is used to estimate permeability variation in a 5-spot.

INTRODUCTION

There have been great advances in the

reservoir floods to help the operating engineer understand the flow characteristics. Generally this use has been entirely qualitative. The results of time-of-flight, peak concentrations at the producing wells, concentration history, and directional flow have been used only to substantiate that channelling does not exist. No attempts have been made to predict quantitatively the tracer breakthrough behavior that might be expected from different reservoir characteristics.

In the past couple of years it has become apparent that some prediction technique could be well used to supplement the other tools available to the reservoir engineer. It is becoming increasingly important that maximum recovery be obtained from a flood, and any quantitative information about the reservoir can be of help in achieving this maximum. The work reported here is a step in this direction -- an attempt to quantify the tracer behavior.

Equations are developed to predict the time of tracer breakthrough, the peak concentration of the tracer, and the general form of the breakthrough curve in a 5-spot flood. Tracer production history from a field test are compared to the behavior as predicted by the equations. As more field data become available, and more sophisticated methods are made, the equation constants can be adjusted and better predictions are

These calculations will be possible in the future.

These calculations were directed for use of tracers where the mobility ratio is near unity. In general, this is valid in many waterfloods and almost all gas cycling projects. The method of approach, however, can be used whenever the reservoir coverage and dispersion characteristics can be approximated. In systems where the mobility ratio is inherently unfavorable and fingering is predominant, the approach cannot yet be used because of the limited knowledge of dispersion in these systems. Thus, at present, this approach would be only partially successful in miscible flooding calculations.

DEVELOPMENT OF EQUATIONS

This section of the paper covers the method of calculating tracer behavior in a homogeneous spot system when the mobility ratio is 1:1. No characteristics affect the breakthrough history of the tracer; the mixing due to dispersion, and the pattern sweep efficiency. These effects are treated separately and then mathematically combined.

Dispersion or Mixing

When one material miscibly displaces another in a porous medium, mixing occurs in a manner similar to Fick diffusion, except the constant of mixing is changed. In radial flow this equation can be expressed as follows:

$$\frac{\partial C}{\partial t} + \frac{2-r}{Q} \frac{\partial C}{\partial r} = \frac{2-r}{Q} \frac{K}{r^2} \frac{\partial^2 C}{\partial r^2} \quad (1)$$

- where C = Concentration (any consistent units)
- K = Dispersion coefficient - analogous to the Fick diffusion coefficient (ft²/sec)
- r = Radius (ft)
- t = Time (sec)
- Q = Volumetric injection rate (ft³/sec)

For convenience in writing, the term, Q/2r, can be called Q'. Another simplification can be made if the dispersion coefficient is assumed proportional to velocity. Experimental evidence shows this is a close approximation. Then the term, 2rK/Q (or rK/Q'), can be replaced by α (α constant for any given porous medium). The resulting equation is

$$\frac{\partial C}{\partial t} + \frac{r}{Q'} \frac{\partial C}{\partial r} = \alpha \frac{\partial^2 C}{\partial r^2} \quad (2)$$

Kaimondi et al² have shown that this equation can be solved if one realizes that the term on the right hand side of the equation is quite small compared to the other terms. The value of the second partial can then be approximately calculated by assuming the right hand side is zero.

$$\frac{\partial C}{\partial t} + \frac{r}{Q'} \frac{\partial C}{\partial r} \approx 0 \quad (3)$$

The expression for the second partial then becomes,

$$\frac{\partial^2 C}{\partial r^2} \approx -\frac{1}{Q'} \frac{\partial C}{\partial t} + \frac{r^2}{(Q')^2} \frac{\partial^2 C}{\partial t^2} \quad (4)$$

and Equation 2 can be replaced by,

$$\frac{\partial C}{\partial t} + \frac{r}{Q'} \frac{\partial C}{\partial r} \approx -\frac{\alpha}{Q'} \frac{\partial C}{\partial t} + \alpha \frac{r^2}{Q'^2} \frac{\partial^2 C}{\partial t^2} \quad (5)$$

In Equation 5 there are two multipliers on ∂C/∂t: r/Q' and α/Q'. Experimental data on α (Ref. 1) shows that it is always considerably smaller than one foot; so it can properly be neglected compared to r, and Equation 5 can be simplified to:

$$\frac{\partial C}{\partial t} + \frac{r}{Q'} \frac{\partial C}{\partial r} = \alpha \left(\frac{r}{Q'}\right)^2 \frac{\partial^2 C}{\partial t^2} \quad (6)$$

This equation can be further simplified by changing variables.

Define:

$$\tau = t - \frac{r^2}{2Q}$$

and

$$\rho = \frac{r^3}{3}$$

The resulting expression is:

$$\frac{\partial C}{\partial \rho} = \frac{\alpha}{Q'} \frac{\partial^2 C}{\partial \tau^2} \quad (7)$$

When one fluid is displacing another in an infinite, radial porous medium, the solution to Equation 7 is:

$$\begin{aligned} \frac{C}{C_0} &= \frac{1}{2} \operatorname{erfc} \left(\frac{\rho}{2\sqrt{\alpha Q' \tau}} \right) \\ &= \frac{1}{2} \operatorname{erfc} \left(\frac{r^3}{2\sqrt{\alpha Q' t}} \right) \end{aligned} \quad (8)$$

When a tracer is injected, it is necessary to include both the front and back edges of the tracer slug. The solution will then contain two terms of the form similar to Equation 8. For symmetry it is convenient to have the reference point at the middle of the tracer slug. If the tracer is injected for a time, t_1 , the reference points will be at $\pm t_1/2$, and the result is:

$$\frac{C}{C_0} = \frac{1}{2} \operatorname{erfc} \left(\frac{Q'(t+t_1/2) - r^2/2}{2\sqrt{ar^3/3}} \right) - \frac{1}{2} \operatorname{erfc} \left(\frac{Q'(t-t_1/2) - r^2/2}{2\sqrt{ar^3/3}} \right) \quad (9)$$

We wish to know the peak concentration, or mid-point concentration, C_{MP} , of the tracer slug. At this point $t = t_1/2$, and the result is,

$$\frac{C_{MP}}{C_0} = \operatorname{erf} \left(\frac{Q' t_1}{2\sqrt{ar^3/3}} \right) \quad (10)$$

The term $Q' t_1$ is a measure of the amount of tracer injected. For easier visualization of the variables it might be simpler to look at this term in relation to a width of tracer slug. If the slug moved out into the reservoir without mixing, its undiluted "width", W , would be expressed as $W = Q' t_1$, and Equation 10 could be written,

$$\frac{C_{MP}}{C_0} = \operatorname{erf} \left(\frac{\sqrt{3} W}{2\sqrt{ar}} \right) \quad (11)$$

In comparison, for dispersion of a tracer in a linear flow for a distance, L , the result is,

$$\frac{C}{C_0} = \operatorname{erf} \left(\frac{W}{2\sqrt{aL}} \right) \quad (12)$$

so the radial, and linear equations differ only in the factor $\sqrt{3}$.

When the argument of the error function is less than about 0.1, the function becomes linear, with the constant 1.13. In tracer work, the desired output concentration is almost always less than one tenth of the input concentration, so Equation 11 can be simplified to,

$$\frac{C_{MP}}{C_0} = \frac{1.13 \sqrt{3} W}{2\sqrt{ar}} \quad (13)$$

Flow in a 5-spot is not radial, but it is possible to approximate the geometry of a 5-spot system with a radial model. If a circle is drawn with its center at the injection well and the circumference cutting the four surrounding producing wells, and then the circle is folded back on itself as shown in Figure 1, the shape of the front is very similar to the actual front in a 5-spot displacement at breakthrough. Of great importance is that the length of the front thus formed is very close to the length of the actual front in 5-spot flow. And a study of Equation 13 shows that the front length is the most important parameter affecting the mid-point concentration.

The mass of tracer injected is equal to the perimeter times width, height, porosity saturation, concentration and density. For a waterflood tracer this is

$$m = 2\pi L h \nu S_0 C_0 \quad (14)$$

where L = Distance from injector to producer (ft)
 C_0 = Injected concentration (weight fraction)

Equations 13 and 14 can now be combined to determine the amount of tracer to inject for a desired peak concentration, remembering that W in Equation 13 is now the interwell distance, L .

$$m = \frac{400}{\nu S_0} h \nu S_0 C_{inj} L^{1.5} C_0^{-0.5} \quad (15)$$

Areal Sweep Effects

Equation 15 gives us the concentration of the tracer flowing in the reservoir. However, this is not the same as the concentration flowing out of the wellbore, for the geometry of the 5-spot system causes the tracer front to be diluted at the wellbore. This can be explained as follows.

Assume we have a homogeneous 5-spot filled with fluid "A" and inject fluid "B" which has the same mobility. Also assume no mixing takes place at the front (later the areal sweep effects will be combined with the mixing effects). Thus "B" is injected as a sharp front and will remain as a sharp front. The resulting breakthrough curve looks like curve, 1, in Figure 2a. Note that the percent "B" rises after breakthrough, but it requires a large injection volume before the producing concentration climbs to 100 percent "B". The "B" that is flowing in the reservoir, however, is at 100 percent concentration.

Now consider a case where a slug of "B" is injected and this in turn is followed by "A". Again assume no dispersion occurs and slug "B" remains sharp and undiluted. The breakthrough curve for the front of the "B" slug will remain the same, and the breakthrough curve for "A" following "B" will be identical in shape--merely lagging the first curve as shown in curve 2, Figure 2a. At any point in the production history, the concentration of "B" being produced is equal to the vertical distance in the "B" area of Figure 2a, and the resulting "B" concentration production curve looks like Figure 2b. Notice that the peak producing concentration of "B" is considerably less than 100 percent, even though the concentration of "B" flowing in the reservoir is 100 percent.

When the tracer becomes dispersed (or mixed) in the reservoir it is convenient to think of the tracer being composed of many small slugs, each with a different concentration. The highest concentration is in the center and progressively lower values are ahead and behind. This concept is shown in Figure 2c. In this case the "B" output concentration curve can be calculated by vertically summing the concentration contributions of each small segment, and the resulting curve looks something like Figure 2d. The general shape of this curve is similar to the undiluted slug of Figure 2b, but it is less sharply peaked; and, of course, has a lower concentration due to the diluting.

The problem now is to develop these qualitative concepts into numbers and equations. For the impact areal sweep information the data of Erickson, G. W., Erickson, C. G., and Witte, J. L., "Areal Sweep in a 5-Spot System," SPE J. 1965, 10, 117-122, were used. Since these data

averaged and the resultant curve plotted in Figure 3. This curve could not be conveniently fit to an equation, so it was differentiated graphically, plotted as the solid stair-step line of Figure 4, and empirically fit to the following equation.

$$\log \left[\log \left(\frac{1.07}{1.07 - F_D} \right) \right] = -.0410 + .581 \log(Q_1 - .72)$$

$$\text{for } .72 < Q_1 < 2.29 \quad (16)$$

Where F_D = Fraction of displacing fluid in the producing stream
 Q_1 = Volume injected and produced (effective pore volumes)

This is plotted as the dashed line of Figure 4.

Combining the Breakthrough and Dispersion Data

Equations 11 or 13 predict the concentration at the midpoint, but the concentration ahead of and behind the midpoint is also needed. This is an e^{-x^2} type term, which can be extracted from Equations 11 or 13 as follows.

$$\frac{C_1}{C_{1sp}} = e^{-\frac{3}{8} \frac{(Q_1)^2}{L^2}} \quad (17)$$

Where C_1 = Concentration at same point r_1 near the midpoint, L
 $\Delta r = L - r_1$

Since Equation 16 is in pore volume units, and we wish to combine it with Equation 17, it will be necessary to change Equation 17 to pore volume units. The volume of a tracer segment is $2\pi r_1 L h$ and one pore volume is $2\phi L^2 h$, so an increment in pore volume is,

$$\Delta(PV) = \frac{2\pi r_1 L h}{2\phi L^2 h} = \frac{r_1}{L} \quad (18)$$

and the concentration profile becomes,

$$\frac{C_1}{C_{1sp}} = e^{-\frac{3(C_1 PV)^2}{8}} \quad (19)$$

Assume now that a tracer slug has been injected, it is followed by a volume of water (V_w) and the midpoint of the tracer is also the front at V_w . Equation 19 states that the tracer is distributed everywhere in the reservoir at a concentration proportional to $e^{-C_1^2 PV^2}$. According to Equation 15, any tracer at a location r_1 has a certain pore volume out from the injection point. This has already been produced, and the tracer at a location r_1 has a certain pore volume out

not yet started to be produced. The rest of the tracer is being produced at a rate depending on its location. To determine the total tracer production it is necessary to sum all contributions from .72 to 2.29 pore volumes, thusly.

$$\frac{C(V_1)}{C_{mp}} = \int_{.72}^{2.29} \frac{dF_D}{dQ_1} e^{-\frac{3L(Q_1 - V_1)^2}{2\pi^2 a}} dQ_1 \quad (20)$$

Where $C(V_1)$ = Producing concentration as a function of volume injected.
 F_D = Fraction displacing fluid.
 V_1 = Volume injected (pore volumes).
 Q_1 = Location volume (pore volumes).

This is the same "summing" used earlier to get from Figure 2c to Figure 2d.

Unfortunately, Equation 20 cannot be integrated analytically due to the complex relationship between F_D and Q_1 ; so it was integrated numerically, giving C versus V_1 for various values of L/a . The results of these calculations are plotted in Figure 5. Note that, for all spacings and dispersion coefficients, the peak concentration producing from the well is considerably less than the peak concentration in the reservoir.

The peak concentrations of Figure 5 were plotted on log-log paper in Figure 6. Empirically they were found to fit a straight line with the following equation.

$$\frac{C_p}{C_{mp}} = \frac{1.89}{2.7} \left(\frac{L}{a}\right)^{-.235} \quad (21)$$

Where C_p = Peak concentration produced from the reservoir.

Equation 21 can now be combined with Equation 15 to give us a working equation for 5-spot patterns.

$$C_p = \frac{216}{2.7} S_w C_{mp} a^{.265} L^{-.735} \quad (22)$$

For ease of use, it is easier to use the concentration, C_p , in parts per million. This is the usual method of expressing tracer concentrations. The inter-well distance is more usually handled in hundreds of feet. With these changes, the equation becomes,

$$C_p = \frac{0.625}{2.7} S_w C_{mp} a^{.265} L^{-.735} \quad (23)$$

Where C_p = Peak concentration producing from the well (ppm)
 L = Distance from injector to producer (hundreds of feet)

Effect of Outside Wells

Only the flow in the pattern has been included so far in the calculations. In a developed 5-spot pattern, each producing well receives fluids from four wells. Thus, if the pattern is balanced, the tracer is further diluted by a factor of four.

If the pattern is not balanced, the flow system is not so simple, for the basic sweep pattern will be changed from that used to arrive at Equation 23. The effect of the sweep pattern change cannot be properly calculated because data are not available. However, the equations can be partially corrected by accounting for the total volumes injected and produced. This is shown in the following example.

For instance, assume that an injection well is taking 1000 B/D, and it is surrounded by four producers making 600 B/D each. If the reservoir is liquid filled and there is dynamic balance of flow, each producer will get 250 B/D from the injector and 350 B/D from outside the pattern. Thus the actual peak concentration is smaller than calculated from Equation 23 by the ratio 250/600.

If the pattern is balanced, each producer will make 1000 B/D. Each producer will be getting 250 B/D from the injector and 750 B/D from outside the pattern. The peak concentration will be smaller by the ratio 250/1000.

These examples illustrate the idea, but they are considerably simpler than the usual field case.

Stratification of Reservoir

All the previous calculations were based on a homogeneous reservoir. Unfortunately, such does not exist. But it is possible to make some allowance for the heterogeneity of the actual reservoir with some further assumptions.

One of the most common methods of handling heterogeneity is to mathematically divide the reservoir into layers, assign a permeability to each layer, and assume no cross flow. We should not believe these assumptions too wholeheartedly, but this model has a history of possible reservoir predictions to back up its usage.

If a reservoir is divided into layers, the amount of tracer going into each layer is proportional to its permeability. So, from Equation 15, the concentration flowing in that layer will also be proportional to its permeability. At the producing well, the tracer from a given layer will be diluted by flow coming in from other layers. The dilution is proportional to the kh product of the layer compared to the total kh of the reservoir. So the resulting producing concentration is as follows:

$$C_i = C_P \frac{k_i}{k_{\text{avg}}} \left(\frac{h_i k_i}{\sum h_i k_i} \right) = C_P \frac{h_i}{H} \left(\frac{k_i}{k_{\text{avg}}} \right)^2 \quad (24)$$

- C_i = Concentration peak from the i th layer
 C_P = Peak concentration if the reservoir is homogeneous (from Equation 23)
 k_i = Permeability of the i th layer
 k_{avg} = Average permeability of the reservoir
 h_i = Height of the i th layer
 H = Height of the reservoir

Since the flow rate through the i th layer is proportional to its permeability, the time to breakthrough of that layer is inversely proportional to its permeability, as follows:

$$t_i = t_{\text{avg}} \frac{k_{\text{avg}}}{k_i} \quad (25)$$

- Where t_i = Time to breakthrough of the i th layer
 t_{avg} = Time to breakthrough of the homogeneous reservoir

When Equations 23, 24 and 25 and Figure 5 are used in conjunction with the effect of the outside wells, the peak concentration, the concentration profile, and breakthrough time of each layer can be calculated for any given 5-spot condition. In actual practice the contribution from the most permeable layer, or layers, will be most important.

5-SPOT FIELD TEST

A 2 1/2 acre inverted 5-spot having approximately 12 feet of net pay was chosen for a test. The average porosity was 26 percent and water saturation was 55 percent. From core data, the average air permeability of the core was 1600 md with indications of a 5000 md streak approximately one foot thick. Laboratory data on the core gave an α of 0.05 ft. The identification of the pattern wells is shown in Figure 7. Further data on the test is given in Table 1.

The injection well averaged 600 EWPD and the producing rates were as follows: Well A, 260 EWPD; Well B, 160 EWPD; Well C, 140 EWPD; and Well D, 240 EWPD; for a total of 800 EWPD. The data on breakthrough of the tracers is shown in Figures 8, 9 and 10 for Wells A, C and D. No tracer was ever detected from Well B.

Since no tracer was found in Well B, it was assumed that only fifty barrels per day of the injected water were moving toward this well. The remaining water was distributed among the other three wells according to their production rate; Well A 225 EWPD, Well C 120 EWPD, and Well D 205 EWPD. The total tracer produced from these wells indicates that this assumption is sound, for about equal volumes were produced from Wells A and D with considerably less from Well C.

The ammonium thiocyanate curve of Well D was chosen for detailed analysis. Since the injection well was down for about four days, it was felt that it would be meaningless to attempt to match the concentration curve during and after that period. So the tracer elution curve was approximated from the period of 2000 bbls to 4000 bbls production using Equations 23, 24 and 25 and Figure 5. The resulting match is shown in Figure 11.

Three permeable streaks were used to arrive at Figure 11: 4110 md, 0.99 ft thick; 3420 md, 1.00 ft thick; and 2980 md, .59 ft thick. Notice that the shape of the curve is quite close to the thiocyanate curve of Figure 10. Although the detailed spikes and peaks are missing, the curve basically consists of two major peaks as shown. On the other hand the potassium iodide curve of Figure 10 is basically a single broad hump covering the same production interval as the thiocyanate. So the "double peak" approximation of Figure 11 is not valid for the iodide. Since the percentage of iodide and thiocyanate recovered was virtually the same in all three wells, we must conclude the iodide curve is as valid as the thiocyanate curve. Rather than emphasize the exact values calculated for the permeability streaks of Figure 11, the curves should be considered in a broader sense to conclude there is a zone about 2 1/2 feet thick which ranges from about 2 to 3 times the average permeability.

Since the curves for Well A are similar to Well D, the conclusions should be the same for this quadrant.

The injection well was down during the period when Well C was producing. So the tracer data for Well C is not available. From the tracer data for the other two pattern wells, it was concluded that the tracer from all three wells would be present in the production

was attempted on Well C.

It is obvious that a Northwest-Southeast permeability trend exists in this pattern. This could possibly have been expected from the differing production rates of the four wells; but it was dramatically pointed out by these tracer results. This is especially interesting in view of the fact that the core analysis data indicated no such permeability trend.

CONCLUSIONS

Equations have been derived for use in predicting tracer flow behavior in reservoirs. The specific equations were developed to handle 5-spot flow of water tracers at a 1:1 mobility ratio. Although these conditions limit the scope of the equations; the method of approach is general enough to be used wherever areal coverage, dispersion and flow pattern is known or can be approximated.

Using the equations and the detailed tracer production history, the degree of stratification in a reservoir can be calculated.

The field test data indicate that the stratification and producing concentration values calculated from these equations are realistic, giving some confidence in the use of these equations in reservoir analysis.

ACKNOWLEDGEMENT

The authors wish to thank the management of Continental Oil Company for permission to publish this paper, and the members of Continental's Production Research Division for their advice and stimulating discussions on the ideas presented in the paper.

NOMENCLATURE

- C = Concentration (any units are permissible as long as they are consistent - generally weight fraction or ppm are used)
- C₁ = Peak concentration due to flow from the 1st layer
- C₁ = Concentration at r₁ near the midpoint L
- C₀ = Injected concentration
- C₀ = Peak concentration flowing from a homogeneous reservoir
- C(V) = Production concentration as a function of volume injected (V)
- F_D = Fraction of displacing fluid in the producing stream
- L = Length of reservoir (ft)
- L₁ = Length of the 1st layer (ft)
- D = Dispersion coefficient for miscible displacement in a porous media (ft²/day)
- φ = Porosity of the reservoir

- k₁ = Permeability of the 1st layer (md)
- L = Total length of displacement, also distance from injector to producer (ft)
- M = Amount of water tracer injected (lb)
- MV = Effective pore volume (dimensionless)
- Q = Volumetric injection rate (ft³/sec-ft)
- Q₁ = Q/2π
- Q₁ = Location volume on the F_D curve (effective pore volumes)
- r = Radius (ft)
- L-r = L-r
- r₁ = Radius near the tracer midpoint, L₁ (ft)
- S = Water saturation (fraction)
- t₁ = Time for injection of a tracer slug (sec)
- t₁ = Time for breakthrough of the 1st layer (sec)
- t_{avg} = Time for breakthrough of a homogeneous reservoir (sec)
- V₁ = Volume injected (effective pore volumes)
- W = Width of tracer slug (ft)
- α = Dispersion constant rX/Q' (ft)
- φ = Porosity (fraction)

REFERENCES

- (1) Brigham, W. E.; Reed, P. W. and Dew, J. K., "Experiments on Mixing During Miscible Displacement in Porous Media" SPE Jour. VI, No. 1, p 1 (March 1961).
- (2) Ralston, P., Gardner, H. F., and Patrick, C. B., "Effect on Pore Structure and Molecular Diffusion on the Mixing of Miscible Liquid Flow in Porous Media," Preprint 43 presented at the AIME-SPE Joint Symposium on Fundamental Concepts of Miscible Displacement, Part II, San Francisco (Dec. 6-9, 1959).
- (3) Dyes, A. B., Caudle, B. H., and Erickson, R. A., "Oil Production after Breakthrough as Influenced by Mobility Ratio," Trans. AIME (1954) 201, p 27.
- (4) Caudle, B. H., and Witte, M. D., "Production Potential Changes During Sweep-Out in a Five-Spot System," Trans. AIME (1959) 216, p. 446.
- (5) Fay, C. H., and Trats, W., "The Application of Numerical Methods to Cycling and Flooding Problems," Proceedings from Third World Petroleum Congress, Section II, p. 555 (1951)
- (6) Smith, B. H., and Brigham, W. E., "Field Evaluation of Waterflood Tracers in a Five-Spot" API Division of Production, Midcontinent District Meeting, Wichita, Kansas (March 31-April 2, 1965)

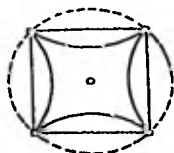


Figure 1. APPROXIMATION OF FIVE-SPOT GEOMETRY USING A CIRCLE

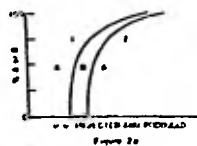


Figure 2a

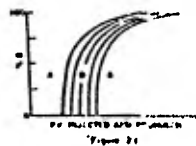


Figure 2b

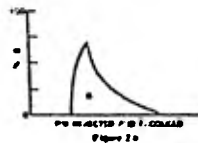


Figure 2c

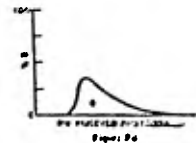


Figure 2d

Figure 2. EFFECTS OF APICAL SLOPE ON EFFICIENCY:

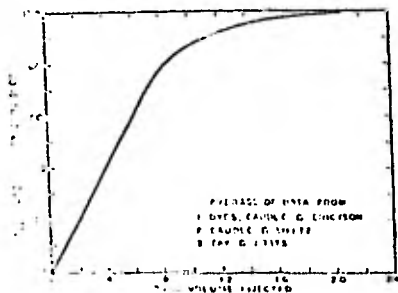


Figure 3. SINGLE WELLS EFFICIENCY IN UNIFORM FLUID

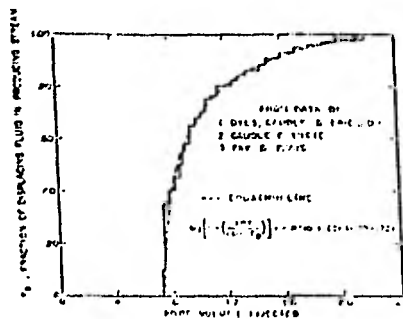


Figure 4. 5-SPOT EFFICIENCY CURVE

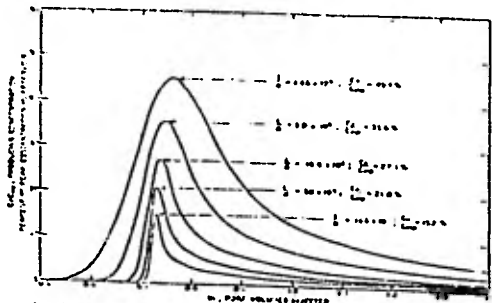
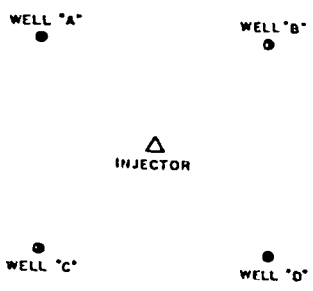


Figure 1 EFFECT OF SPATIAL AND DISPERSION COEFFICIENT ON PEAK THROUGH SYSTEMS



Figure 2 EFFECT OF DISPERSION AND SPACING ON PEAK PRODUCTION CONCENTRATION



TRACER TEST PATTERN

Figure 3

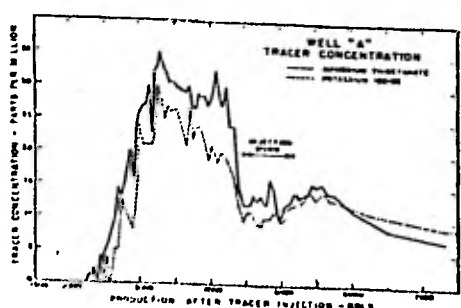
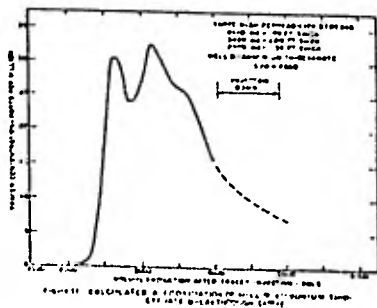
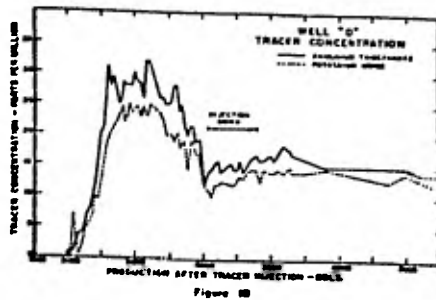
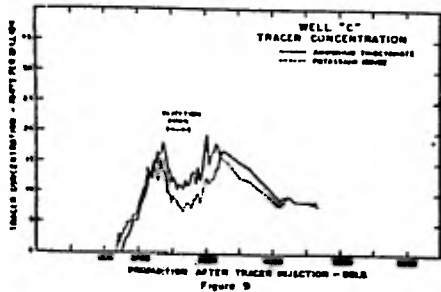


Figure 4



APENDICE B

En este apéndice se presentan los listados de dos programas de computadora, el primero evalua las soluciones unidimensionales de la ecuación de dispersión, y el segundo nos calcula la capacidad de almacenamiento y la conductancia de un yacimiento de aceite.

2 EQUAL CD

3 PROF, 70 TPFF, JCLUGO, TPFI, JCLUGO

```

4 C =====
5 C = UNIVERSIDAD NACIONAL AUTONOMA DE MEXICO =
6 C = FACULTAD DE INGENIERIA =
7 C =
8 C = TESIS PROFESIONAL =
9 C =====

```

10 C
11 C
12 C
13 C
14 C
15 C
16 C
17 C
18 C
19 C
20 C
21 C
22 C
23 C
24 C
25 C
26 C
27 C
28 C
29 C
30 C
31 C
32 C
33 C
34 C
35 C
36 C
37 C
38 C

- ```

*
* SOLUCION DE LA ECUACION QUE SIMULA EL COMPORTAMIENTO DEL
* FENOMENO DE DISPERSION PARA TRAZADOR RADIOACTIVO
* EN UNA DIMENSION (3 CASOS)
*
* 1) INYECCION CONSTANTE
* 2) INYECCION DE UN "PACHO" DE TRAZADOR CON MEZCLADO
* 3) INYECCION DE UN "PACHO" DE TRAZADOR SIN MEZCLADO
*
* VARIABLES QUE INTERVIENEN EN EL PROGRAMA
*
* NT= NUMERO DE INCREMENTOS DE X
* NTE= NUMERO DE INCREMENTOS DE TIEMPO
* D = COEFICIENTE DE DISPERSION LONGITUDINAL
* E = EFICIENCIA DE MEZCLADO
* W = RADIO EFECTIVO DE LA FUENTE
* V = VELOCIDAD DEL LIQUIDO
* B = FACTOR DE RETARDAMIENTO
* DEC=CONSTANTE DE DECAIMIENTO RADIOACTIVO
* XI= POSICION INICIAL "X"
* DELT= TAMAO DEL INCREMENTO "X"
* TI= TIEMPO DE INICIO DE SALIDA DE FLUJO
* AC= RAPIDEZ DE CAMBIO DE CONCENTRACION DE LA FUENTE
* TP= TIEMPO DE INICIO DE SALIDA DE FLUJO
*

```

```

39 DIMENSION PELO(10), TIME(10), S(10), T(10)
40 ND=0
41 READ(7,1)NC
42 ? READ(7,1)LL
43 GO TO (3,103,203),L
44 3 READ(7,4)NI,NT,D,C,W,V,B,DE,DFLX
45 WRITE(6,5)
46 WRITE(6,6)
47 WRITE(6,7)D,E,W,V,B,DFC
48 AM=SQRT(1.0-4.0*DE*(V*W))
49 GE=DEC*V*(1+AM)
50 HE=DE*V*(1.0-AM)/D
51 DO 30 I=1,NT
52 IF(I-1)3,9,9
53 8 X=XI
54 GO TO 11
55 9 AX=DFLX
56 10 T=DE*DFLX/(V*AM)
57 DEX=(1.0-GE)*SQRT(1.0+D/DE)
58 T11=0.0
59 S(1)=1.0
60 DO 19 I=1,NT

```

```

51 IF (N-1) 16, 16, 117
52 15 T(N)=T(N-1)*.71
53 S(N)=S(N-1)*.71
54 16 T(N)=T(N)*.70
55 IF (N-1) 117, 117, 117
56 17 V=2*S(N)/SQRT(T(N))
57 GO TO 19
58 13 Y=1.0
59 10 P=LOG(1+.5*EXP(-C*T(N)*H)*DTC(Y))
60 WRITE(6,20)X
61 WRITE(6,21)
62 WRITE(6,22) T(N), P, C, H, DTC(Y)
63 CALL GRAPH(VELC, -1., 1., NT, 7., 1.)
64 10 CONTINUE
65 C
66 C
67 ND=NP+1
68 IF (NP-NC) 3, 31, 31
69 113 P=AL(1, 100) H, NT, D, V, XI, TI, DTC, DELX
70 WRITE(6, 115)
71 WRITE(6, 116)
72 WRITE(6, 117) D, V, D, DTC, TI
73 DO 137 I=1, NI
74 IF (I-1) 111, 111, 111
75 111 X=XI
76 GO TO 113
77 112 X=X+DELX
78 113 T=X*.7/V
79 T=T+T0
80 C=.5*X*SQRT(B/(T+C*D))
81 T(1)=.71
82 C(1)=.15
83 DO 120 N=1, NT
84 IF (N-1) 116, 116, 116
85 115 T(N)=T(N-1)*.71
86 S(N)=S(N-1)*.71
87 116 T(N)=T(N)*.70
88 IF (N-1) 117, 117, 117
89 117 V=2*S(N)/SQRT(T(N))
90 V=V*(S(N)-T(N))/SQRT(T(N)-T0)
91 GO TO 119
92 118 Y=1.0
93 V=V*T0/SQRT(T(N)-T0)
94 IF (11) V(N)-T(1) 121, 121, 121
95 121 P=LOG(1+.5*EXP(-C*D*CONTIME(N))*DTC(Y)-DTC(Y1))
96 GO TO 129
97 121 P=LOG(1+.5*EXP(-DTC*T(N))*DTC(Y))
98 129 CONTINUE
99 WRITE(6, 20)Y
100 WRITE(6, 21)
101 WRITE(6, 22) T(N), P, C, H, DTC(Y)
102 CALL GRAPH(VELC, -1., 1., NT, 7., 1.)
103 120 CONTINUE
104 ND=NP+1
105 IF (NP-NC) 3, 31, 31
106 123 P=AL(1, 100) H, NT, D, V, XI, DTC, DELX
107 WRITE(6, 20)X
108 WRITE(6, 21)
109 WRITE(6, 22) T(N), V, D, DTC

```

```

121 *DESBAR(1,104,1000000/9000)
122 *DPR(1,1-10/100000)
123 PD 237 I=1,MI
124 IF(1-1)211,211,212
125 211 X=XI
126 GO TO 213
127 212 X=X*DTLY
128 213 T=EX*(1/(V*H))
129 Z=X/(1+SQRT(1+D/R))
130 T(1)=T*ZD
131 S(1)=T*ZD
132 DO 227 N=1,NT
133 IF(N-1)216,216,215
134 215 TIME(N)=T(N)*T1
135 S(N)=S(N)*T1
136 216 TIME(N)=T(N)*T0
137 IF(N-1)217,216,217
138 217 Y(2)=S(N)/SQRT(T(N))
139 GO TO 219
140 213 Y=0.0
141 219 RELOC(N)=EXP(XP(IG*X))%DFC(Y)
142 220 CONTINUE
143 WRITE(6,211X
144 211)
145 WRITE(6,21) (TIME(N),RELOC(N),N=1,NT)
146 CALL GRAPH(PLC,-1,1,NT,D,1)
147 230 CONTINUE
148 NOPEN=1
149 IF(NOPEN=0,1,1)
150 1 FORMAT(15)
151 4 FORMAT(1F,4E12.5,/,4E12.5)
152 5 FORMAT(////,2X,"CONCENTRACIONES RELATIVAS PARA LITRACION SUBYTA
153 *CON MEZCLAD")
154 6 FORMAT(///,2X,"*DATOS DE ENTRADA*")
155 7 FORMAT(5H DE, F12.5,4H DE, F12.5,4H DE, F12.5,4H VE, F12.5,4H BE, F
156 112.5,6H, DEC=, F12.5,/)
157 20 FORMAT(1H1,/,2X,4H X =, F12.5,/)
158 21 FORMAT(2X,"LOS TIEMPOS Y LAS CONCENTRACIONES RELATIVAS SON",/)
159 22 FORMAT(5F11.2,2X,E11.5)
160 179 FORMAT(15,4E12.5,/,3F12.5)
161 175 FORMAT(///,2X,"CONCENTRACIONES RELATIVAS SIN MEZCLADO",/)
162 176 FORMAT(20X,"DATOS DE ENTRADA",/)
163 177 FORMAT(5H DE, F12.5,5H VE, F12.5,5H DE, F12.5,7H DEC=, F12.5,6H
164 1 Y=, F12.5,/)
165 214 FORMAT(1F,4E12.5,/,2E12.5)
166 215 FORMAT(///,2X,"CONCENTRACIONES RELATIVAS INYECCION CONSTANTE",/)
167 216 FORMAT(20X,"DATOS DE ENTRADA",/)
168 227 FORMAT(2X,3H DE, F12.5,4H DE, F12.5,5H VE, F12.5,6H DEC=, F12.5,/)
169 175 FORMAT(5H DE, F12.5,6H DE, F12.5,5H VE, F12.5,5H BE, F12.5,7H
170 1 Y=, F12.5,/)
171 31 CALL EXIT
172 END
173 *DPR, IS TPF%,GRAPH,,GRAPH
174 SUPPOINT INT CHADNEY, YMIN, YMAX, N, REG INX, DELTAX)
175 C
176 C
177 C
178 C
179 C
180 C
181 C
182 C
183 C
184 C
185 C
186 C
187 C
188 C
189 C
190 C
191 C
192 C
193 C
194 C
195 C
196 C
197 C
198 C
199 C
200 C
201 C
202 C
203 C
204 C
205 C
206 C
207 C
208 C
209 C
210 C
211 C
212 C
213 C
214 C
215 C
216 C
217 C
218 C
219 C
220 C
221 C
222 C
223 C
224 C
225 C
226 C
227 C
228 C
229 C
230 C
231 C
232 C
233 C
234 C
235 C
236 C
237 C
238 C
239 C
240 C
241 C
242 C
243 C
244 C
245 C
246 C
247 C
248 C
249 C
250 C
251 C
252 C
253 C
254 C
255 C
256 C
257 C
258 C
259 C
260 C
261 C
262 C
263 C
264 C
265 C
266 C
267 C
268 C
269 C
270 C
271 C
272 C
273 C
274 C
275 C
276 C
277 C
278 C
279 C
280 C
281 C
282 C
283 C
284 C
285 C
286 C
287 C
288 C
289 C
290 C
291 C
292 C
293 C
294 C
295 C
296 C
297 C
298 C
299 C
300 C
301 C
302 C
303 C
304 C
305 C
306 C
307 C
308 C
309 C
310 C
311 C
312 C
313 C
314 C
315 C
316 C
317 C
318 C
319 C
320 C
321 C
322 C
323 C
324 C
325 C
326 C
327 C
328 C
329 C
330 C
331 C
332 C
333 C
334 C
335 C
336 C
337 C
338 C
339 C
340 C
341 C
342 C
343 C
344 C
345 C
346 C
347 C
348 C
349 C
350 C
351 C
352 C
353 C
354 C
355 C
356 C
357 C
358 C
359 C
360 C
361 C
362 C
363 C
364 C
365 C
366 C
367 C
368 C
369 C
370 C
371 C
372 C
373 C
374 C
375 C
376 C
377 C
378 C
379 C
380 C
381 C
382 C
383 C
384 C
385 C
386 C
387 C
388 C
389 C
390 C
391 C
392 C
393 C
394 C
395 C
396 C
397 C
398 C
399 C
400 C
401 C
402 C
403 C
404 C
405 C
406 C
407 C
408 C
409 C
410 C
411 C
412 C
413 C
414 C
415 C
416 C
417 C
418 C
419 C
420 C
421 C
422 C
423 C
424 C
425 C
426 C
427 C
428 C
429 C
430 C
431 C
432 C
433 C
434 C
435 C
436 C
437 C
438 C
439 C
440 C
441 C
442 C
443 C
444 C
445 C
446 C
447 C
448 C
449 C
450 C
451 C
452 C
453 C
454 C
455 C
456 C
457 C
458 C
459 C
460 C
461 C
462 C
463 C
464 C
465 C
466 C
467 C
468 C
469 C
470 C
471 C
472 C
473 C
474 C
475 C
476 C
477 C
478 C
479 C
480 C
481 C
482 C
483 C
484 C
485 C
486 C
487 C
488 C
489 C
490 C
491 C
492 C
493 C
494 C
495 C
496 C
497 C
498 C
499 C
500 C
501 C
502 C
503 C
504 C
505 C
506 C
507 C
508 C
509 C
510 C
511 C
512 C
513 C
514 C
515 C
516 C
517 C
518 C
519 C
520 C
521 C
522 C
523 C
524 C
525 C
526 C
527 C
528 C
529 C
530 C
531 C
532 C
533 C
534 C
535 C
536 C
537 C
538 C
539 C
540 C
541 C
542 C
543 C
544 C
545 C
546 C
547 C
548 C
549 C
550 C
551 C
552 C
553 C
554 C
555 C
556 C
557 C
558 C
559 C
560 C
561 C
562 C
563 C
564 C
565 C
566 C
567 C
568 C
569 C
570 C
571 C
572 C
573 C
574 C
575 C
576 C
577 C
578 C
579 C
580 C
581 C
582 C
583 C
584 C
585 C
586 C
587 C
588 C
589 C
590 C
591 C
592 C
593 C
594 C
595 C
596 C
597 C
598 C
599 C
600 C
601 C
602 C
603 C
604 C
605 C
606 C
607 C
608 C
609 C
610 C
611 C
612 C
613 C
614 C
615 C
616 C
617 C
618 C
619 C
620 C
621 C
622 C
623 C
624 C
625 C
626 C
627 C
628 C
629 C
630 C
631 C
632 C
633 C
634 C
635 C
636 C
637 C
638 C
639 C
640 C
641 C
642 C
643 C
644 C
645 C
646 C
647 C
648 C
649 C
650 C
651 C
652 C
653 C
654 C
655 C
656 C
657 C
658 C
659 C
660 C
661 C
662 C
663 C
664 C
665 C
666 C
667 C
668 C
669 C
670 C
671 C
672 C
673 C
674 C
675 C
676 C
677 C
678 C
679 C
680 C
681 C
682 C
683 C
684 C
685 C
686 C
687 C
688 C
689 C
690 C
691 C
692 C
693 C
694 C
695 C
696 C
697 C
698 C
699 C
700 C
701 C
702 C
703 C
704 C
705 C
706 C
707 C
708 C
709 C
710 C
711 C
712 C
713 C
714 C
715 C
716 C
717 C
718 C
719 C
720 C
721 C
722 C
723 C
724 C
725 C
726 C
727 C
728 C
729 C
730 C
731 C
732 C
733 C
734 C
735 C
736 C
737 C
738 C
739 C
740 C
741 C
742 C
743 C
744 C
745 C
746 C
747 C
748 C
749 C
750 C
751 C
752 C
753 C
754 C
755 C
756 C
757 C
758 C
759 C
760 C
761 C
762 C
763 C
764 C
765 C
766 C
767 C
768 C
769 C
770 C
771 C
772 C
773 C
774 C
775 C
776 C
777 C
778 C
779 C
780 C
781 C
782 C
783 C
784 C
785 C
786 C
787 C
788 C
789 C
790 C
791 C
792 C
793 C
794 C
795 C
796 C
797 C
798 C
799 C
800 C
801 C
802 C
803 C
804 C
805 C
806 C
807 C
808 C
809 C
810 C
811 C
812 C
813 C
814 C
815 C
816 C
817 C
818 C
819 C
820 C
821 C
822 C
823 C
824 C
825 C
826 C
827 C
828 C
829 C
830 C
831 C
832 C
833 C
834 C
835 C
836 C
837 C
838 C
839 C
840 C
841 C
842 C
843 C
844 C
845 C
846 C
847 C
848 C
849 C
850 C
851 C
852 C
853 C
854 C
855 C
856 C
857 C
858 C
859 C
860 C
861 C
862 C
863 C
864 C
865 C
866 C
867 C
868 C
869 C
870 C
871 C
872 C
873 C
874 C
875 C
876 C
877 C
878 C
879 C
880 C
881 C
882 C
883 C
884 C
885 C
886 C
887 C
888 C
889 C
890 C
891 C
892 C
893 C
894 C
895 C
896 C
897 C
898 C
899 C
900 C
901 C
902 C
903 C
904 C
905 C
906 C
907 C
908 C
909 C
910 C
911 C
912 C
913 C
914 C
915 C
916 C
917 C
918 C
919 C
920 C
921 C
922 C
923 C
924 C
925 C
926 C
927 C
928 C
929 C
930 C
931 C
932 C
933 C
934 C
935 C
936 C
937 C
938 C
939 C
940 C
941 C
942 C
943 C
944 C
945 C
946 C
947 C
948 C
949 C
950 C
951 C
952 C
953 C
954 C
955 C
956 C
957 C
958 C
959 C
960 C
961 C
962 C
963 C
964 C
965 C
966 C
967 C
968 C
969 C
970 C
971 C
972 C
973 C
974 C
975 C
976 C
977 C
978 C
979 C
980 C
981 C
982 C
983 C
984 C
985 C
986 C
987 C
988 C
989 C
990 C
991 C
992 C
993 C
994 C
995 C
996 C
997 C
998 C
999 C
1000 C

```

```

101 C
102 C
103 C
104 C
105
106 REAL YMIN,CHAR(101),SIG/1.070/
107 DATA NSPACE,NSIGN,CYC,STAR,BLANK,CHAR/1,1H-,1H1,1H*,102*1H /
108 YMIN=YMINH
109 YMAX=YMAXX
110 N1=STABS(N)
111 IF(N.LT.1)GO TO 11
112 IF(YMAX.GT.0)YMAX=PIG
113 DO 1 I=1,NAN5
114 IF(Y(I).GT.0)I=0 TO 1
115 IF(YMAX.LT.Y(I))YMAX=Y(I)
116 IF(YMIN.GT.Y(I))YMIN=Y(I)
117 1 CONTINUE
118 XMAX=REGINX+FLOAT(NAN5-1)*DELTA
119 YINT=(YMAX+YMIN)/2.0
120 NAX=
121 IF(XMAX.GT.0)NAX=1.0-REGINX/DELTA
122 NAY=
123 IF(YMAX=YMIN.LF.0)NAY=1.0-YMIN/YINT
124 IF(NAY.NE.0)CHAR(NAY)=EYE
125 WRITE(6,5)REGINX,DELTA
126 5 FORMAT(1H //,7X,5HXTOP=,G12.4,67X,5HYINCE,017.4/10X,1H.,5)(2H .))
127 DO 6 I=1,NAN5
128 X=REGINX+FLOAT(I-1)*DELTA
129 IF(I.NE.NAX)GO TO 3
130 DO 4 J=1,101
131 4 CHAR(J)=DASH
132 3 IF(Y(I).GT.YMAX.OF.Y(I).LT.YMIN)GO TO 11
133 NSPACE=(Y(I)-YMIN)/YINT+1.0
134 CHAR(NSPACE)=STAR
135 10 WRITE(6,2)CHAR,Y(I),X
136 2 FORMAT(1H/,7X,1H.,17(1A1,1H.,E10.6,12,F10.7))
137 IF(I.NE.NAX)GO TO 7
138 DO 9 J=1,101
139 9 CHAR(J)=BLANK
140 7 CHAR(NSPACE)=BLANK
141 6 IF(NAY.NE.0)CHAR(NAY)=EYE
142 IF(NAY.NE.0)CHAR(NAY)=BLANK
143 WRITE(6,8)X,1X,YINT,YMIN,YMAX
144 8 FORMAT(1H/,7X,1H.,17(6H . . .)/1H/,7X,5HXTOI=,G12.4,67X,5HYINCE,
145 1012.4/1H/7X,5HYINCE,G12.4,67X,5HYMAX=,G12.4)
146 RETURN
147 END
148
149
150
151
152
153
154
155
156
157
158
159
160
161
162
163
164
165
166
167
168
169
170
171
172
173
174
175
176
177
178
179
180
181
182
183
184
185
186
187
188
189
190
191
192
193
194
195
196
197
198
199
200
201
202
203
204
205
206
207
208
209
210
211
212
213
214
215
216
217
218
219
220
221
222
223
224
225
226
227
228
229
230
231
232
233
234
235
236
237
238
239
240

```

```

241 IF (S2-12.1402,403,403)
242 412 EFCE=0.0-0F(S2)
243 RETURN
244 403 EFCE=0.0
245 RETURN
246 411 EFCE=1.0
247 RETURN
248 401 IF (S-12.1402,403,403)
249 422 EFCE=EF(S)
250 RETURN
251 423 EFCE=0.0
252 RETURN
253 END
254 AXQT
255 3
256 1
257 50 47 0.019 1.0 0.100 120.0
258 1.0 1.0 0.056 500.7
259 2
260 50 47 0.019 1.0 0.10 500.0
261 1.0 0.056 200.7
262 3
263 50 47 4.0 1.0 120.7 0.0
264 0.056 200.7
265 JFIN

```

END ONSITE PRINTOUT ON NOVEMBER 10, 1967 AT 11 52 33  
DD\*TRLU(1).TFC(15)

```

1 W,UN JCLUGO,LA 01/02/REACH,REP100,9,7,
2 JGUAL 00
3 CFORM,IS Inff,JCLUGO,IFFS,JCLUGO
4 C
5 C
6 C
7 C
8 C
9 C
10 C
11 C
12 C
13 C
14 C
15 C
16 C
17 C
18 C
19 C
20 C
21 C
22 C
23
24
25
26
27
28
29 C
30 C
31 C
32
33
34
35
36
37
38
39
40
41
42
43 C
44 C
45 C
46
47
48
49
50
51 C
52 C
53 C
54 C
55
56
57
58
59 C
60 C

```

.....  
 \*  
 \* UNIVERSIDAD NACIONAL AUTONOMA DE MEXICO \*  
 \* FACULTAD DE INGENIERIA \*  
 \* TESIS PROFESIONAL \*  
 \*  
 \* PROGRAMA PARA CALCULAR LA CAPACIDAD DE ALMACENAMIENTO \*  
 \* Y LA CONDUCTANCIA DE UN YACIMIENTO DE ACEITE \*  
 \* MEDIANTE LA INYECCION DE UN TRAZADOR QUIMICO \*  
 \* EL PATRON DE INYECCION ES DE CINCO POZOS SIENDO EL \*  
 \* PUZO CENTRAL EL INYECTOR , EL PROGRAMA ES UNA \*  
 \* ADAPTACION DEL ORIGINAL ESCRITO POR DEXTER L.VUEN \*  
 \*  
 \* .....

```

23 DOUBLE PRECISION LME,SW,POROS,PEPROM
24 DOUBLE PRECISION EL,ALPH,Z(15),Z2(15),PV,PVP,CCMP,CPCMP
25 DOUBLE PRECISION CRFEST,FLAG,Y
26 DOUBLE PRECISION A(1,5),LU(1,5),PEHMIS),CAPAC(15)
27 DIMENSION VP(15),CF(15),IP(15),CNCL(15)
28 CXTORAL FUN
29 C
30 C PARAMETROS DE ENTRADA
31 C
32 READ(1,77)POROS,PEPROM
33 READ(1,100)EL,ALPH
34 READ(1,101)LME,SW,AREA
35 WRITE(16,102)LME,SW,AREA
36 READ(1,103)VMIN,VMAX
37 READ(1,104)N
38 WRITE(16,105)
39 GO 1,LE1,N
40 READ(1,104)VP(1),CP(1)
41 WRITE(16,101)VP(1),CP(1)
42 1 CONTINUE
43 C
44 C CALCULO DE CONSTANTES
45 C
46 1 DIMEN
47 11 ALPH=EL/ALPH
48 12 LEL=3 * LEL,ALPH,11ALPH
49 13 YC=1/(1+10*403-SW*(LEL+1,5))*(ALPH+.1)
50 14 PVP=.72*000+.58*.54100*(LELALPH*(1-.43004*10**3))
51 C
52 C
53 C CALCULO DE K/POROSIDAD*H TOTAL (1=22)
54 C
55 20 1 LE1,N
56 21 L=PVP/VP(1)
57 22 Z(1)=Z(1)*INCCASR/1.617
58 2 CONTINUE
59 C
60 C CLEAR ELEMENTOS DE TABLA

```

```

61 C CALL QUANCE(FUN,,72.000100,2.2900,1.0-7,1.0-7,CCHMP,EPRST,NCFUN,
62 IFLAG,PV,CLALPH)
63 GO TO L1,N
64 DO 4 K=1,N
65 IF (L,EQ,K) GO TO 3
66 PV = VPIL)*7(K)
67 CALL QUANCE(FUN,,72.000100,2.2900,1.0-7,1.0-7,CCHM,ERREST,NCFUN,
68 IFLAG,PV,CLALPH)
69 AIL(F) = CCHMP*Z(F)
70 GO TO 4
71 3 AIL(K)=CCHMP*Y*Z(K)
72 4 CONTINUE
73 5 CONTINUE
74
75 C
76 C RESOLVER LA ECUACION MATRICIAL PARA OBTENER KH/KH TOTAL (PERM)
77 C
78 CALL DECOMP(N,A,IDIY,LU,IPS,SSU,SSU)
79 CALL SOLVE(LN,LU,IDIY,CF,PERM,IPS)
80 C
81 C CALCULAR HOPOROSIDAL (CAPAC)
82 C
83 WRITE(6,NDU)
84 DO 6 L=1,N
85 CAPAC(L)=P*PHIL/ZZ(L)
86 WRITE(6,9011L,PERM(L),CAPAC(L)
87 6 CONTINUE
88 WRITE(6,500)
89 DELTV=(VMAX-VMIN)/750.
90 DO 11 I=1,N
91 W=0.0
92 V=VMIN+FLOAT(I-1)*DELTV
93 DO 10 L=1,N
94 PVE=Z(L)
95 CALL QUANCE(FUN,,72.000100,2.2900,1.0-7,1.0-7,CCHM,ERREST,
96 NCFUN,FLAG,PV,CLALPH)
97 W=CCHMP*Z(L)*PERM(L)*V
98 ENCL(L)=CCHMP*Z(L)*V
99 10 CONTINUE
100 C=0.0
101 WIL(6,5011V,C,ICNCL(J),JJ=1,5)
102 11 CONTINUE
103 IF (PUNOS,EQ,0) GO TO 80
104 CALL INFLU(CPPOS,PERM,CAPAC,PERM,N)
105 80 STOP
106 90 WRITE(6,51)
107 STOP
108 91 WRITE(6,61)
109 STOP
110 01 FORMAT('ZERO ROW FOUND')
111 02 FORMAT('ZERO PIVOT FOUND')
112 700 FORMAT(2F10.0)
113 500 FORMAT(//,5Y,'IND. VTL (RBL) ',5X,'OVERALL TRACER CONC (PPH) ',
114 5X,'ESTRATO 1 ',5X,'ESTRATO 2 ',5X,'ESTRATO 3 ',5X,'ESTRATO 4 ',
115 5X,'ESTRATO 5 ')
116 011 FORMAT(7X,F10.2,17X,F7.2,14X,F7.2,5X,F7.2,5X,F7.2,5X,F7.2,
117 5X,F7.2)
118 110 FORMAT(17),5Y,'CANTIDAD DE TRAZADOR (RBL) ',F10.3,/,5Y,'SVE ',F7.2,
119 17,5Y,'AREA (M2) CUATROVOS (E) ',F10.5)
120 012 FORMAT(//,5Y,'ESTRATO NO. ',5X,'LOCALIZACION DE PISO (RBL) ',5X,

```



```

181 W4=-16160.J00/14.75.D.
182 FLAG=.000
183 RESULT=.000
184 CON=100.000
185 LFMEST=.000
186 AN=2.000
187 NOFUN=0
188 IF(A.EQ.E)RTURN
189 LEV=0
190 NIM=1
191 X=0
192 X(1)=B
193 GPREV=.000
194 F=FUN(VI,X,LLALPH)
195 STON=17-A)/26.000
196 A(6)=(X*X(12))/2.000
197 X(4)=(X*X(9))/2.000
198 X(7)=(X(6)*X(16))/2.000
199 X(2)=(X(5)*X(4))/2.000
200 X(6)=(X(5)*X(8))/2.000
201 A(1)=(X(9)*X(12))/2.000
202 X(8)=(X(12)*X(16))/2.000
203 DO 75 J=2,14,2
204 F(J)=FUN(VI,X(J),LLALPH)
205 25 CONTINUE
206 NOFUN=9
207 3) X(1)=(X*X(2))/2.000
208 F(1)=FUN(VI,X(1),LLALPH)
209 DO 75 J=3,14,2
210 X(J)=(X(J-1)*X(J+1))/2.000
211 F(J)=FUN(VI,X(J),LLALPH)
212 33 CONTINUE
213 NOFUN=NOFUN+9
214 STEP=(X(16)-X(1))/16.000
215 GLEFT=(X(2)*F(1)+F(13))*W1+IF(1)*F(7)+W2*(F(2)+F(6))+W3*(F(3)+F(5))
216 1+W4*(F(5))*STEP
217 GRIGHT(LEV+1)=(W4*(F(8)+F(15))*W1*(F(9)+F(15))+W2*(F(10)+F(14))
218 +W3*(F(11)+F(13))+W4*(F(12))*STEP
219 W1=GLEFT+GRIGHT(LEV+1)
220 COFF=CONV-CPREV
221 ANLA=NEA*COFF
222 ESTERR=CAI*(DIFF)/1.23.000
223 TOLCRN=FMAXI(ABS(LRN),CLERR)*DAS(APEA1)*(STEP/STON)
224 IF(LEV.LE.LTMH)GO TO 61
225 IF(LEV.GE.LFMH)GO TO 62
226 IF(NOFUN.GT.NOFIN)GO TO 63
227 IF(ESTERR.LE.TOLCRN)GO TO 73
228 5) NIM=NIM+1
229 LEV=LEV+1
230 DO 75 J=1,8
231 FSAVE(J,LEV)=F(J)
232 XSAVE(J,LEV)=X(J)
233 52 CONTINUE
234 GPREV=GLEFT
235 DO 75 J=1,8
236 X=0
237 F(2+J)=F(J)
238 F(1+J)=F(1+J)
239 50 CONTINUE
240 GO TO 5

```

```

241 GO TO 100 IF LEV=0
242 LEV=LEV+1
243 FLAG=FLAG+(X**2)/(1-A)
244 GO TO 71
245 FLAG=FLAG+1.0D0
246 73 RESULT=RESULT+CON1
247 CON1=STEP*RESULT+CONST
248 CON1=CON1+DBIFF/1.25D0
249 74 IF INCH.CC.2*(MINI/2) GO TO 75
250 MINI=MINI/2
251 LEV=LEV-1
252 GO TO 72
253 75 MINI=MINI+1
254 IF (LEV.CC.0) GO TO 4
255 SPREV=RIGHT(LEV)
256 A=EX(16)
257 F=FX(16)
258 DO 76 I=1,C
259 F(I)=FSAV(I,LEV)
260 X(I)=XSAV(I,LEV)
261 76 CONTINUE
262 GO TO 3
263 RESULT=RESULT+CON1
264 IF (PREST.EQ.0) GO TO RETURN
265 82 TEMP=ABS(RESULT)+PREST
266 IF (TEMP.RE.GABS(RESULT)) RETURN
267 PREST=TEMP+PREST
268 GO TO 62
269 END
270 15 TFFS,FUN,,FUN
271 FUNCTION FUNDVI,G1,FLALPH)
272 DOUBLE PRECISION VI,G1,FLALPH,AA,BB,CC,FUN,EXP
273 AA=(G1-773)*(-.419)
274 BB=1.0*(1-.9797E3)*G1-.72)*.581)
275 EXP=((G1-VI)/3.141592654)*.2)*(-3.)*FLALPH
276 IF (EXP.LE.-1-17D+3) GO TO 501
277 CC=DEXP(EXP)
278 FUN=1.3172E4*AA*BB*CC
279 GO TO 502
280 501 FUN=0.0
281 502 RETURN
282 END
283 15 TFFS,DECM2,,FCOMP1
284 SUBROUTINE DECM2(LN,A,IPM,LU,IPS,S)
285 INTEGER N,IPM,IPSEN1
286 DOUBLE PRECISION A(I,J),LU(I,S)
287 INTEGER I,J,N,IP,XP,XP1,IP1,IOXPV
288 REAL SCAL(10),CM,G1U,SIZE,PIVOT
289 DOUBLE PRECISION IONRSH
290 DO 1 I=1,S
291 IPS(I)=I
292 IONRSH=0.0
293 DO 2 J=1,N
294 LU(I,J)=A(I,J)
295 IONRSH=MAX(IONRSH,ABS(LU(I,J)))
296 2 CONTINUE
297 IF (IONRSH.EQ.0) RETURN 0
298 SCAL(I)=1.0/IONRSH
299 3 CONTINUE
300 400 ENDA

```

```

301 DO 17 KPI, N1
302 NIG=1
303 DO 14 I=1, N
304 IP=IPSI(I)
305 NIG=SCALE(LU(IP, N))-SCALE(IP)
306 IF(NIG, LUG, NIG) GO TO 14
307 14 CONTINUE
308 IXT=I
309 14 CONTINUE
310 IF(IP, LUG, N) RETURN 7
311 IF(IGXPTV, LUG, N) GO TO 14
312 J=IPSI(K)
313 IPS(K)=IPS(ITXPTV)
314 IPS(ITXPTV)=J
315 15 KPT=IPS(K)
316 PIVOT=LU(KP, K)
317 NP1=K+1
318 DO 16 I=PI, N
319 IP=IPS(I)
320 J=LU(IP, K)/PIVOT
321 LU(IP, K)=J
322 DO 16 J=K+1, N
323 LU(IP, J)=LU(IP, J)-J*LU(KP, J)
324 16 CONTINUE
325 17 CONTINUE
326 LUG=IPS(N)
327 IF(LU(LUG, N), LUG, N) RETURN 7
328 RETURN
329 END
330 *FOR 15 I=1, N
331 SUBROUTINE SOLV(I, N, LU, IOM, U, X, IPS)
332 INTEGER N, IOM, IPS(N)
333 DOUBLE PRECISION LU(S, S), Y(N)
334 REAL X(N)
335 INTEGER I, J, IP, IP1, IP2, NP1, IBACK
336 REAL SUM
337 NP1=N+1
338 LUPA=IPS(1)
339 X(1)=LU(LUPA)
340 DO 1 I=2, N
341 IP=IPS(I)
342 IP1=I-1
343 SUM=0
344 DO 1 J=1, IP1
345 1 SUM=SUM+LU(IP, J)*X(J)
346 2 X(I)=LU(IP)-SUM
347 LOMA=IPS(N)
348 X(N)=X(I)/LU(LOMA, N)
349 DO 1 I=BACK, N
350 1 X(I)=IBACK*X(I)
351 IP=IPS(I)
352 IP1=I-1
353 SUM=0
354 DO 1 J=IP1, N
355 1 SUM=SUM+LU(IP, J)*X(J)
356 4 X(I)=(X(I)-SUM)/LU(IP, I)
357 RETURN
358 END
359 *FOR 15 I=1, N
360 SUBROUTINE THELU(IGXPTV, PLPRD, CAPAC, PENM, N)

```

```

361 C
362 C
363 C ESIA SUBROUTINA CALCULA LA POROSIDAD Y LA PERMEABILIDAD
364 C DE CADA ESTRATO UTILIZANDO UNA POROSIDAD Y PERMEABILIDAD
365 C PROPECIO DEL YACIMIENTO
366 C
367 C POROS=POROSIDAD PROMEDIO
368 C PEPROMEMH PROMECIO DEL YACIMIENTO (PERMEABILIDAD PROM.*ESPESOR PROM.)
369 C EN CASO DE NO CONTAR CON ESTOS DATOS UTILIZAR UNA TARJEYA
370 C EN BLANCO EN DATOS DE LECTURA
371 C
372 C DOUBLE PRECISION POROS,PEPRON,CAPAC(5),PERM(5),MH(5),TKH(5),TK(5)
373 C WRITE(6,700)
374 C DO 40 I=1,N
375 C MH(I)=CAPAC(I)/POROS
376 C TKH(I)=PEPRON*PERM(I)
377 C TK(I)= TKH(I)/MH(I)
378 C WRITE(6,701),MH(I),TKH(I),TK(I)
379 C 40 CONTINUE
380 C 700 FORMAT(11//,12X,'ESTRATO NO.:',5X,'ESPESOR(FT):',5X,'MH (MILIDARCTSI-
381 C 1FT)',5X,'PERMEABILIDAD(MILIDARCTSI)')
382 C 701 FORMAT(9X,1',11Y,F10.6,11Y,F10.6,12X,F11.4)
383 C RETURN
384 C END
385 C
386 C EXCT
387 C 1.26 18000.0
388 C 255.3 0.05
389 C 273.0 0.55 2725.01
390 C 1700.3 3415.77
391 C 5
392 C 1220.00 37.00
393 C 2507.00 37.00
394 C 2750.00 37.00
395 C 3070.00 37.00
396 C 3500.00 29.00
397 C 396 397

```

END ON SITE PRINTOUT ON NOVEMBER 14, 1980 AT 11 26 21  
DD\*TRERLU11.TF51(7)